

# RADAR EN FORAGE: ETUDE DE STABILITE D'UN MASSIF ROCHEUX EN CARRIERE

## CARRIERE D'ENGIS

Tim NZALI



## **PLAN:**

**1) Introduction**

**2) Principes de la méthode radar en forage  
en mode réflexion**

**3) Mise œuvre: Résultats et interprétation**

**4) Conclusions**

## 2) Principes de la méthode radar en forage en mode réflexion

- Propagation and réflexion d'ondes électromagnétiques de haute fréquence (20MHz-2GHz)
- Réflexion due à un contraste de permittivité
- Resolution élevée pour les hautes fréquences

$$v = \frac{c}{\sqrt{\epsilon_r}}$$

avec : v : Velocity of radar waves (m/μs)

c :

Velocity of light

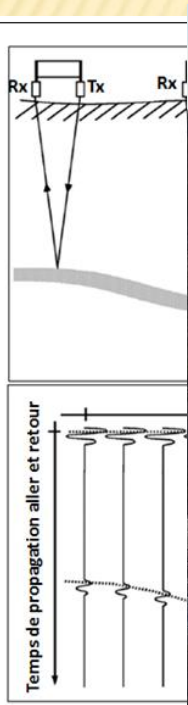
Er :

Permittivity

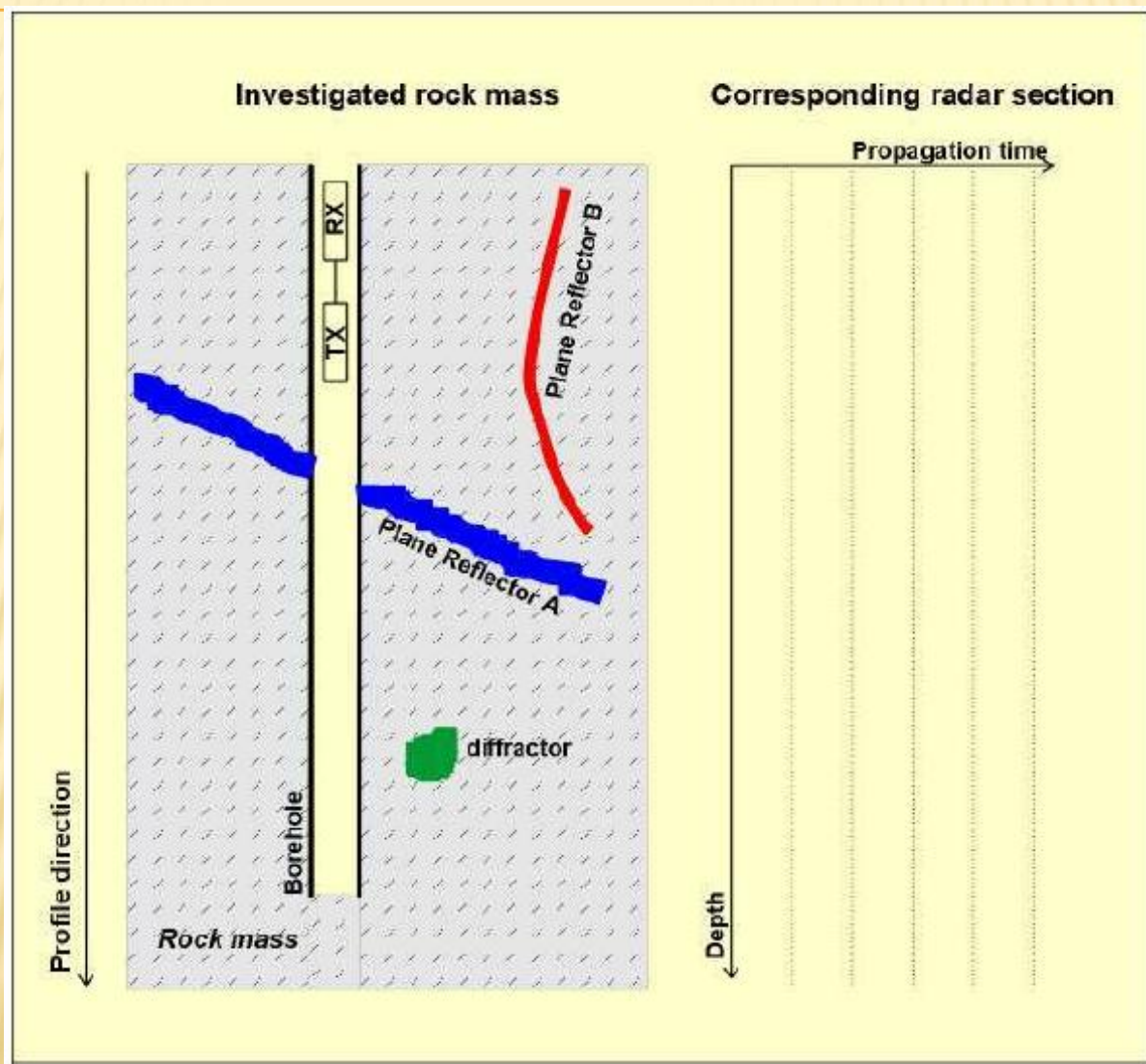
(300 m/μs)

$$\alpha = 1640 \cdot \frac{1}{\rho_e \sqrt{\epsilon_r}}$$

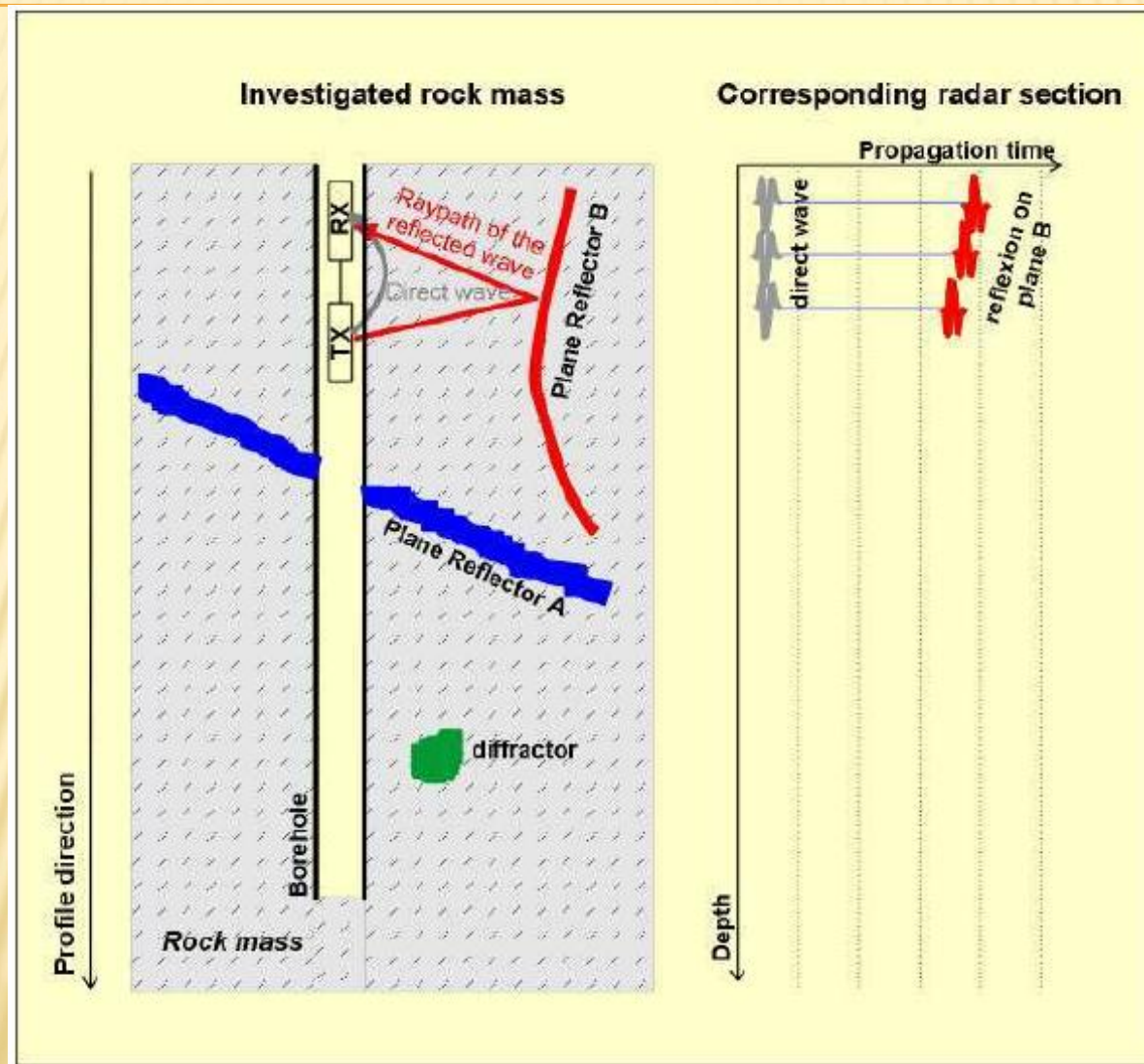
## 2) Principes de la méthode radar en forage en mode réflexion



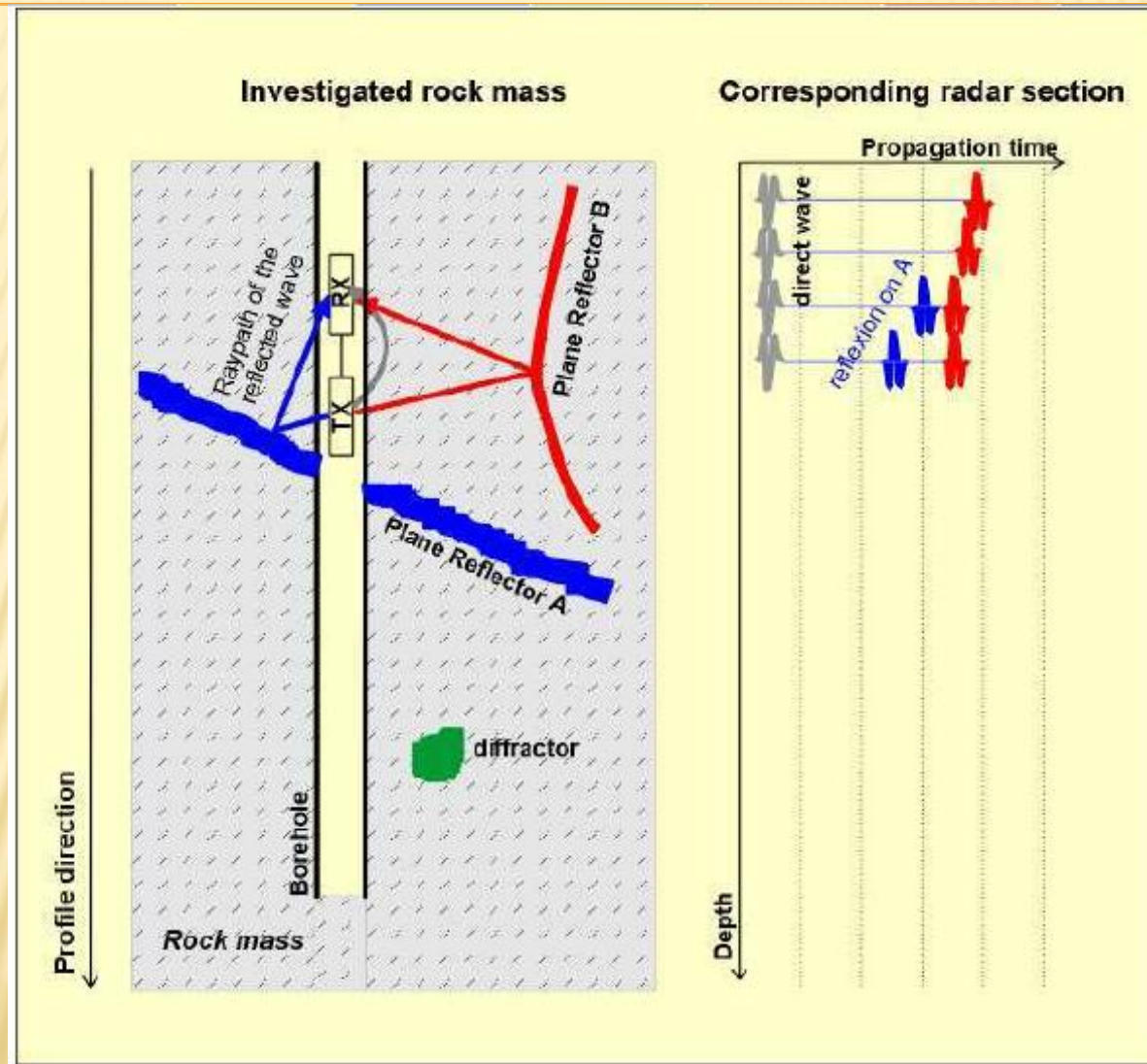
## 2) Principes de la méthode radar en forage en mode réflexion



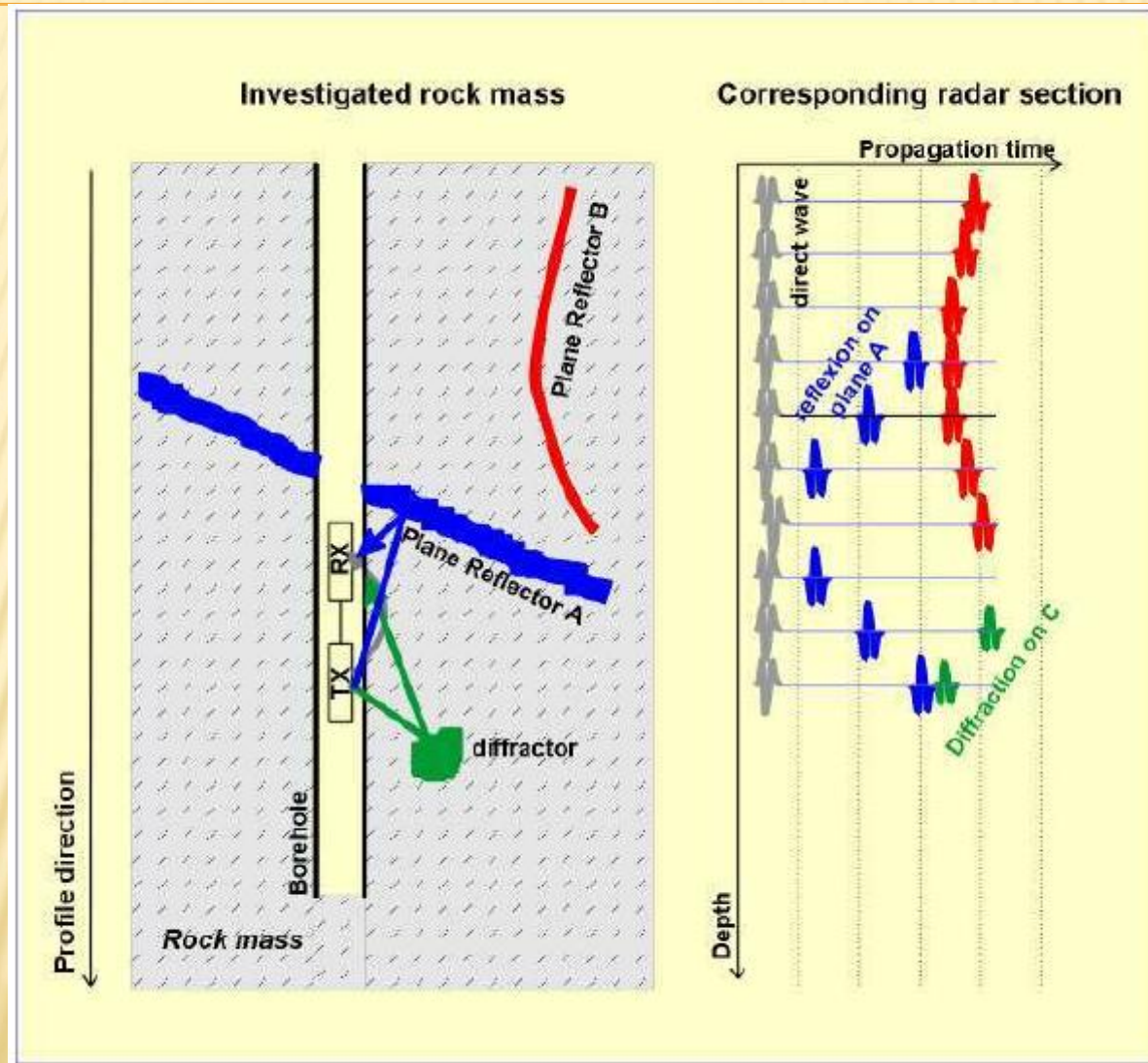
## 2) Principes de la méthode radar en forage en mode réflexion



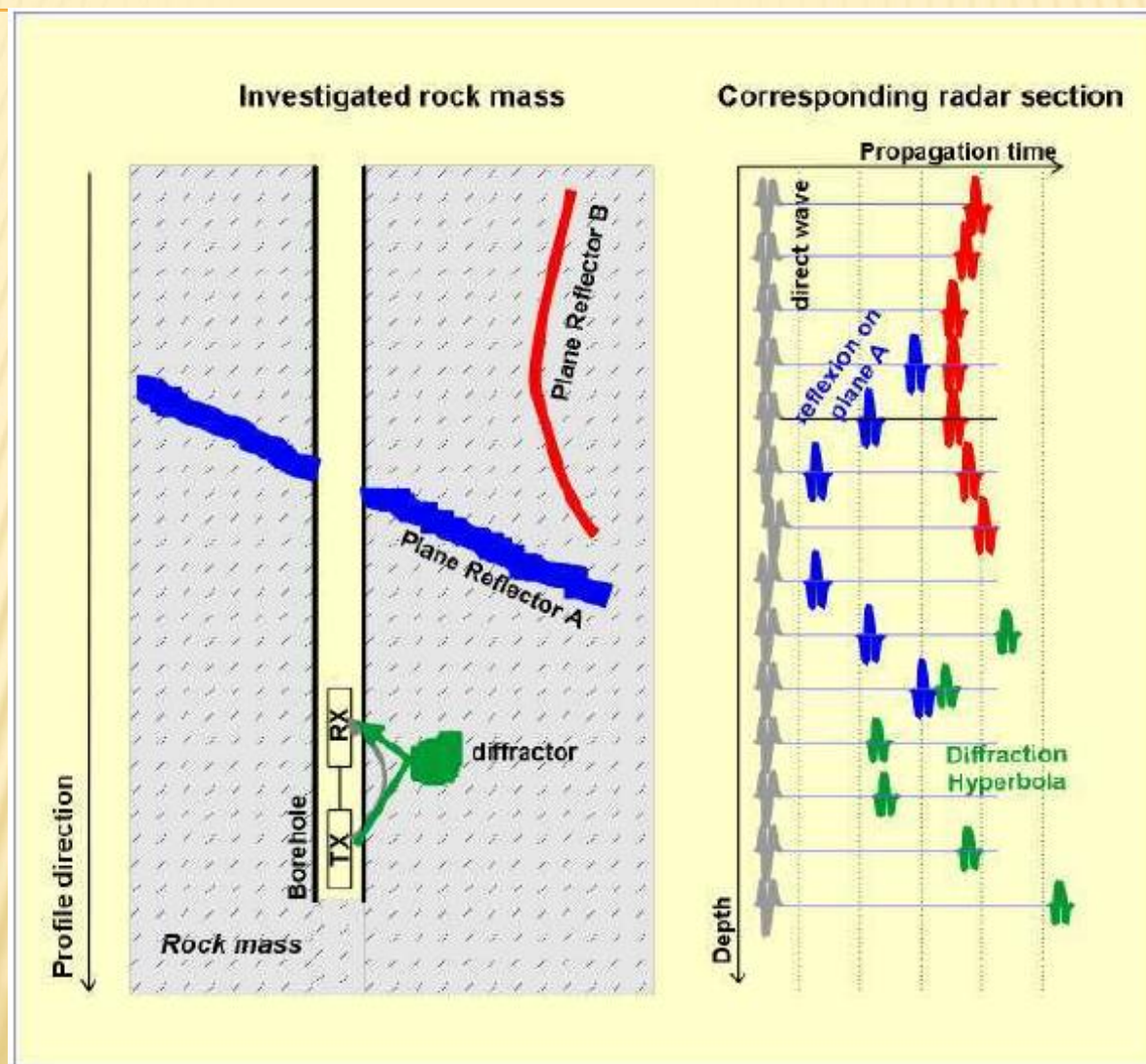
## 2) Principes de la méthode radar en forage en mode réflexion



## 2) Principes de la méthode radar en forage en mode réflexion

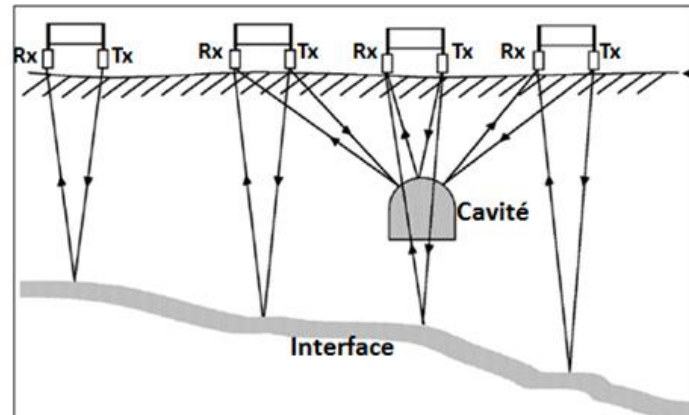


## 2) Principes de la méthode radar en forage en mode réflexion



## 2) Principes de la méthode radar en forage

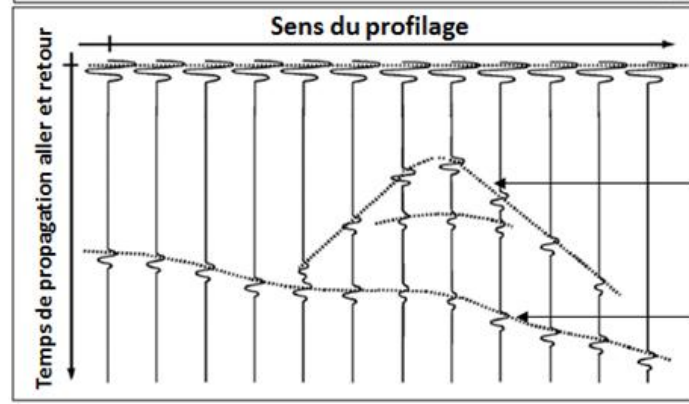
### Mode de représentation



Surface

Tx = antenne émettrice  
Rx = antenne réceptrice

Interface



Onde directe

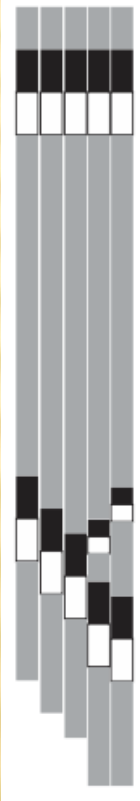
Réflexion sur cavité  
(objet ponctuel=hyperbole)

Réflexion sur interface  
(réflecteur plan)

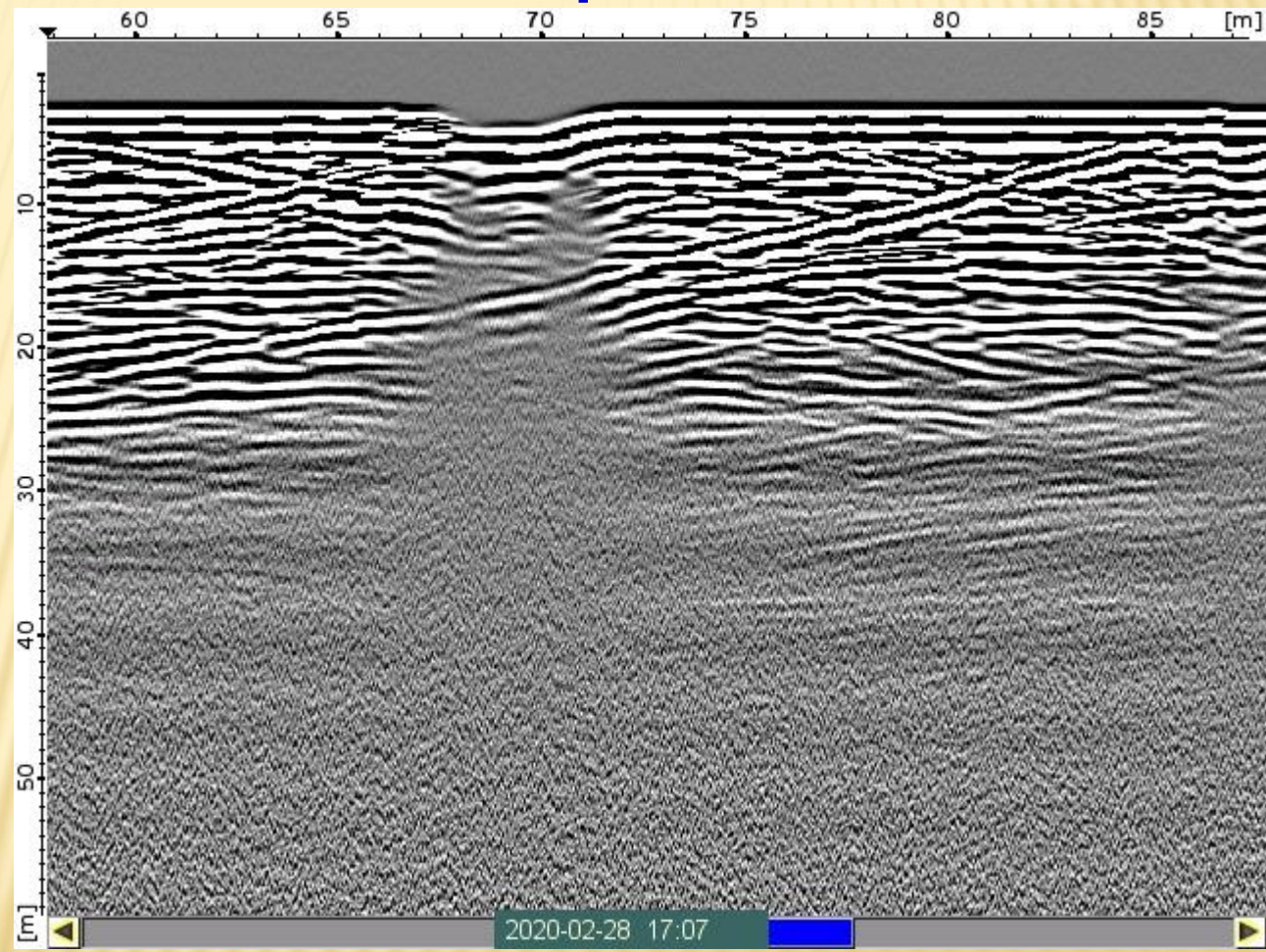
## 2) Principes de la méthode radar en forage

### Mode de représentation

#### Schématisation

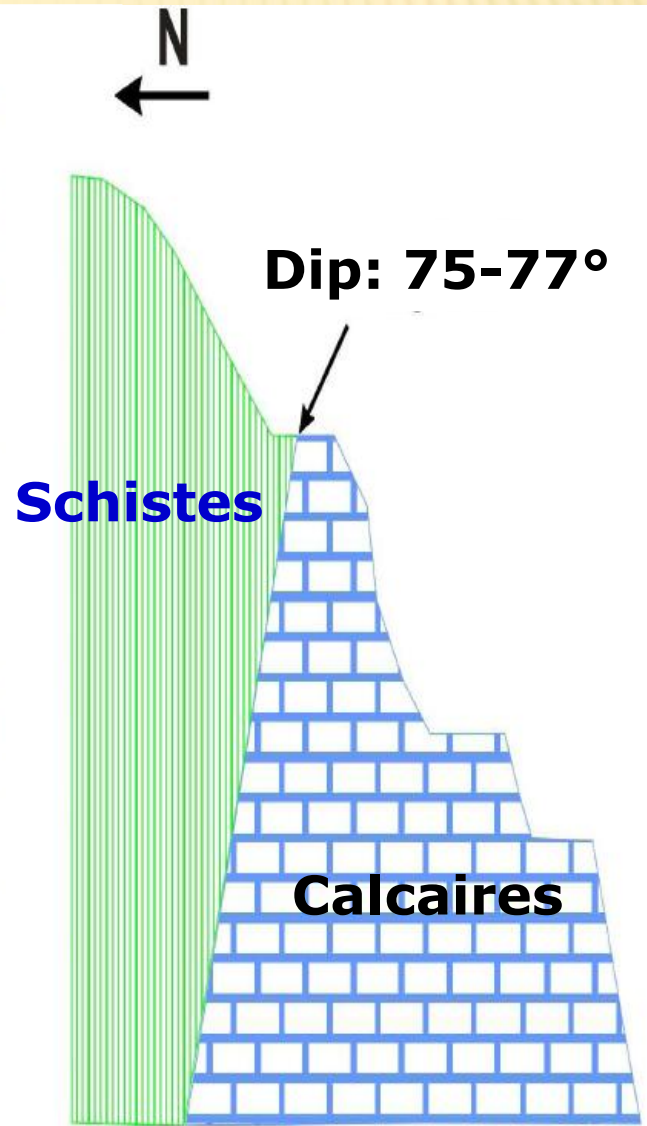
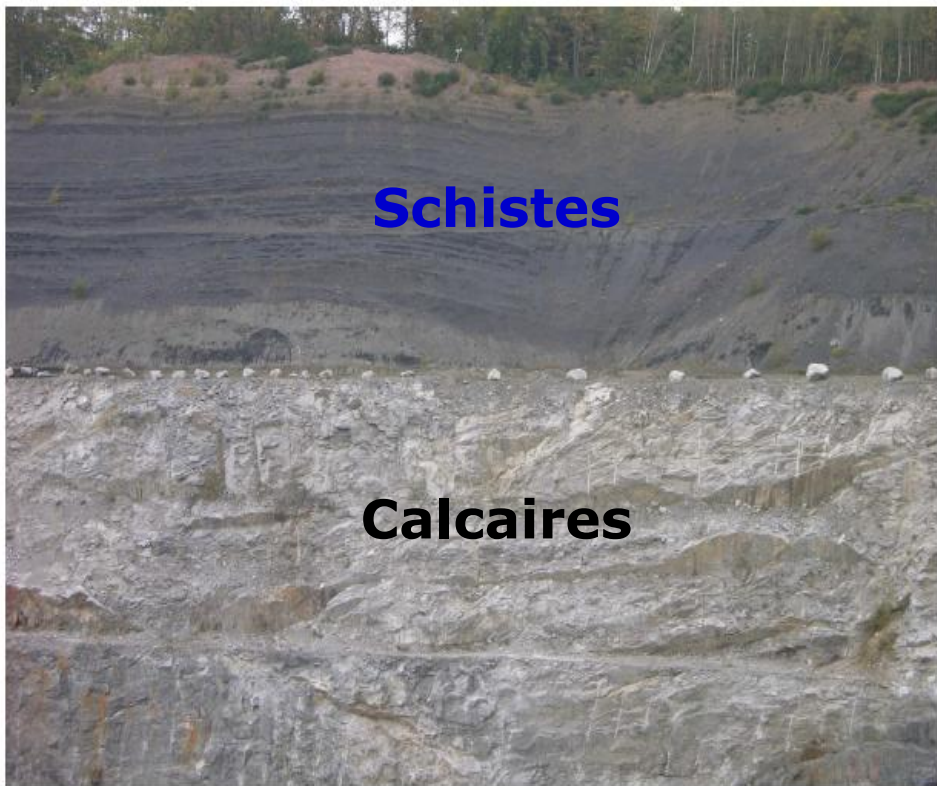


#### Exemple de résultats



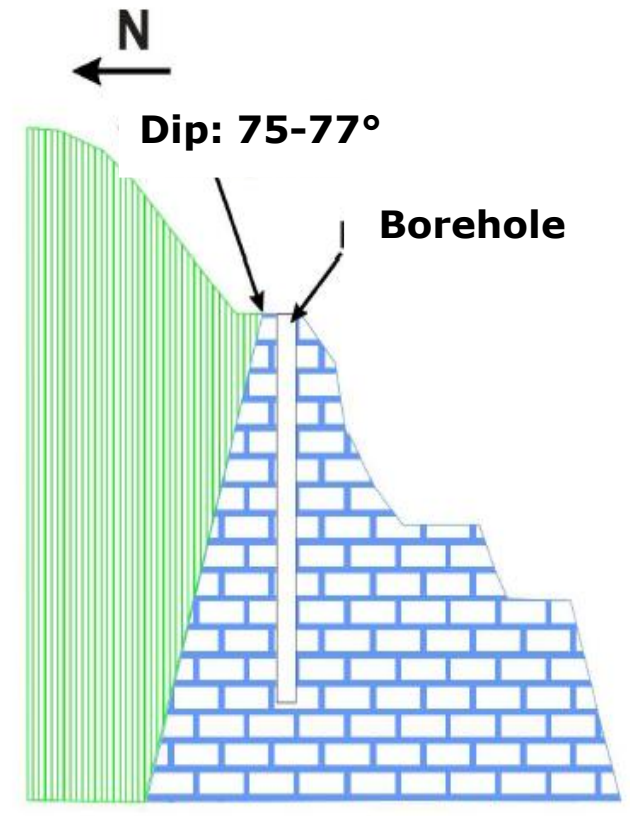
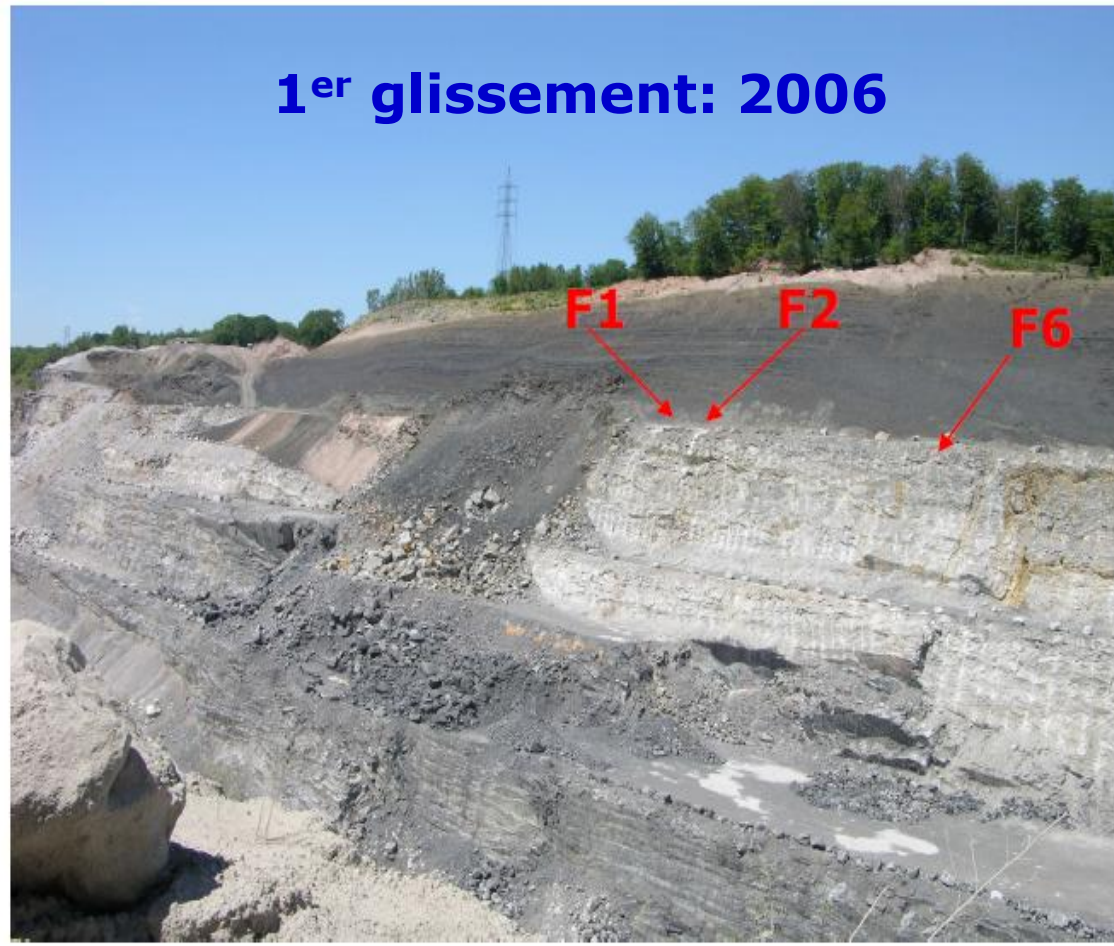
### 3) Mise œuvre: Résultats et interprétation: Carrière d'Engis





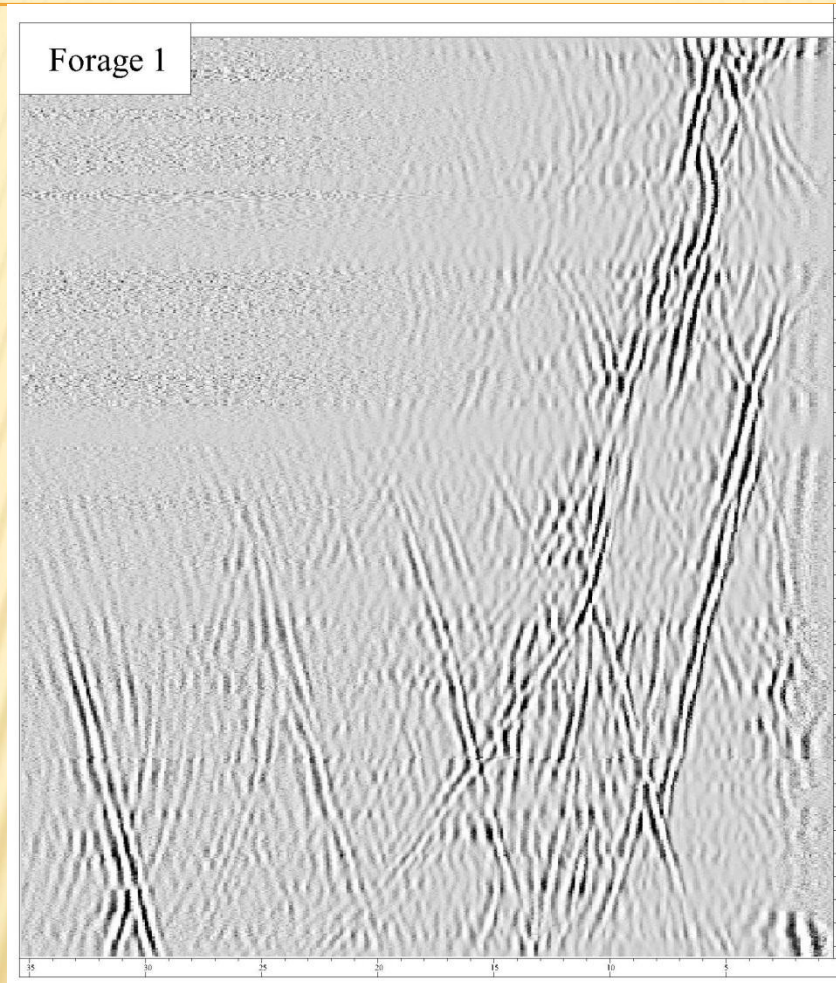


## 1<sup>er</sup> glissement: 2006



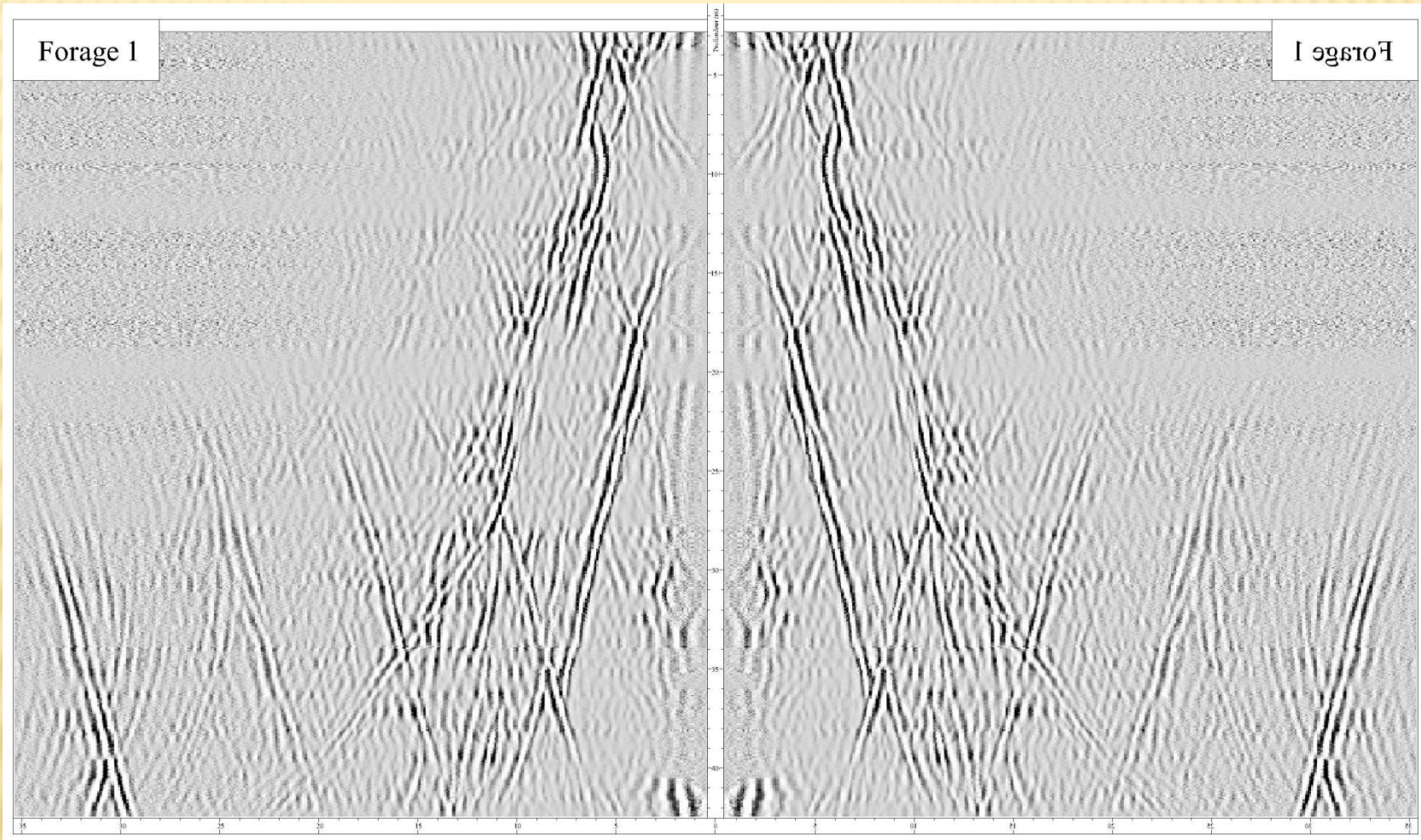
# Forage F1

## Résultats



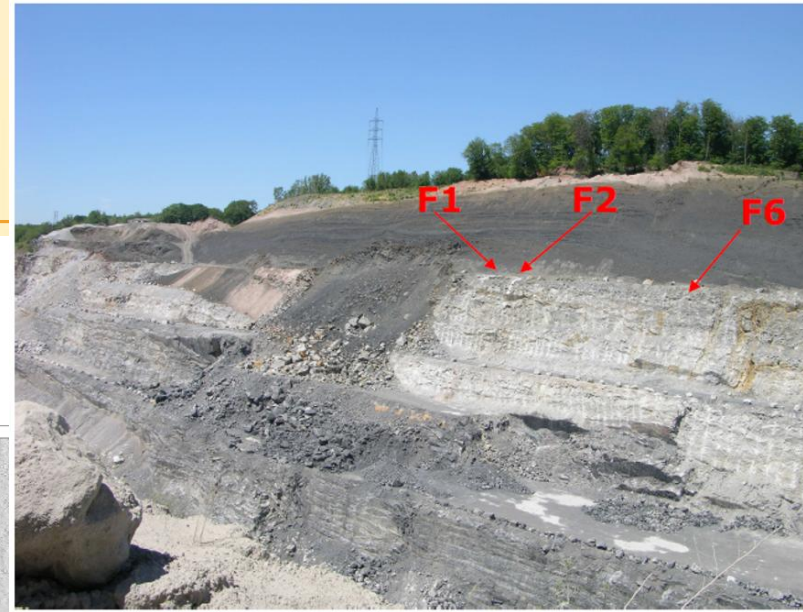
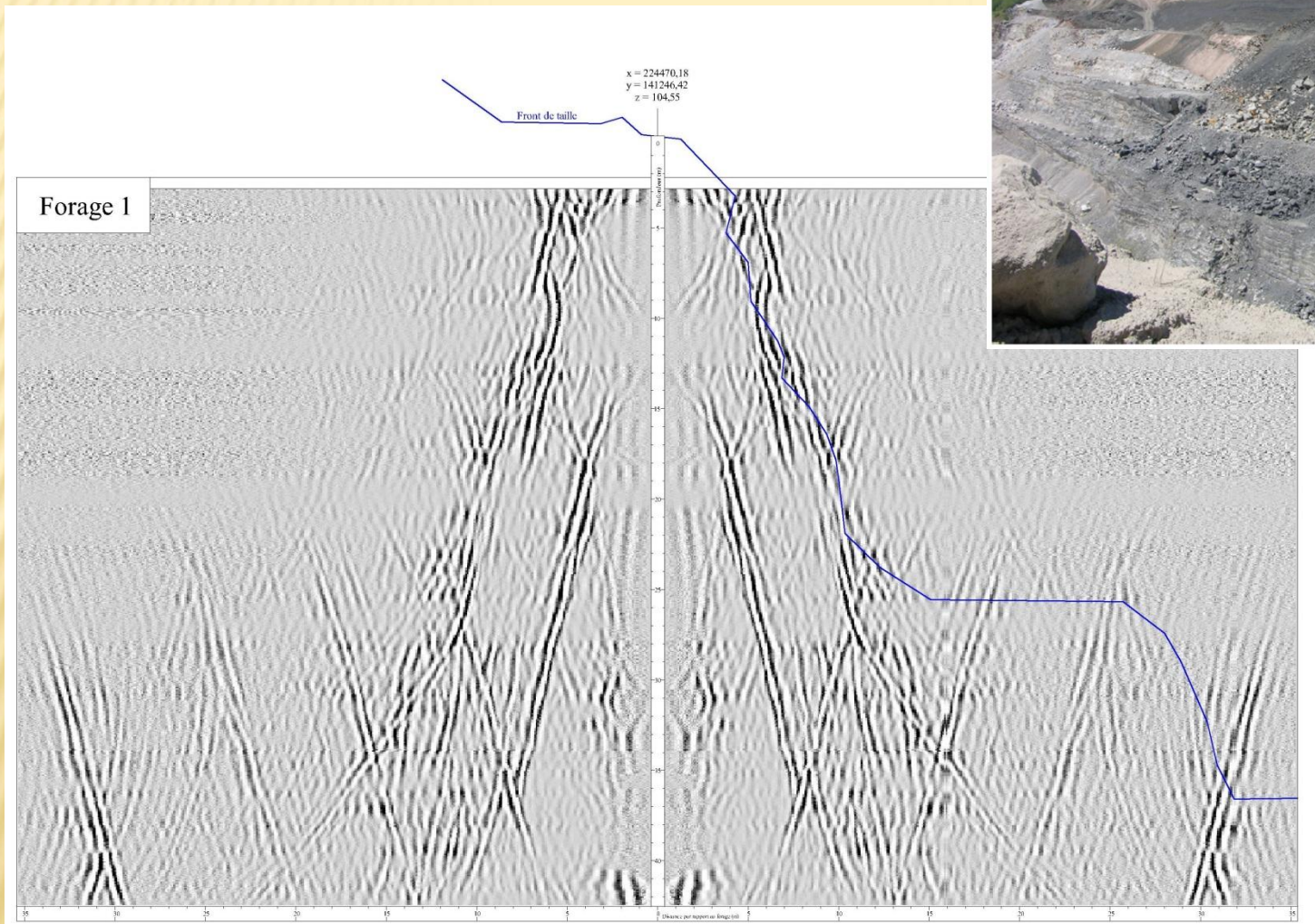
# Forage F1

## Résultats: effet miroir pour faciliter l'interprétation

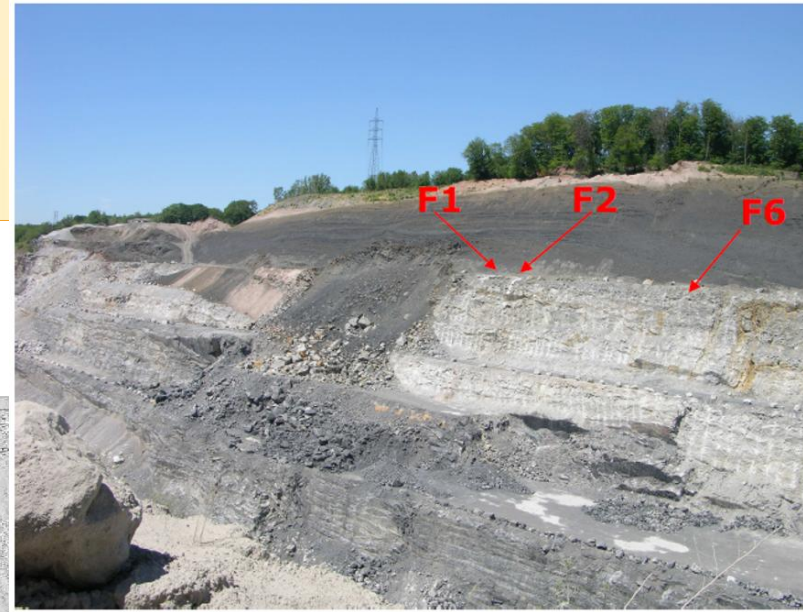
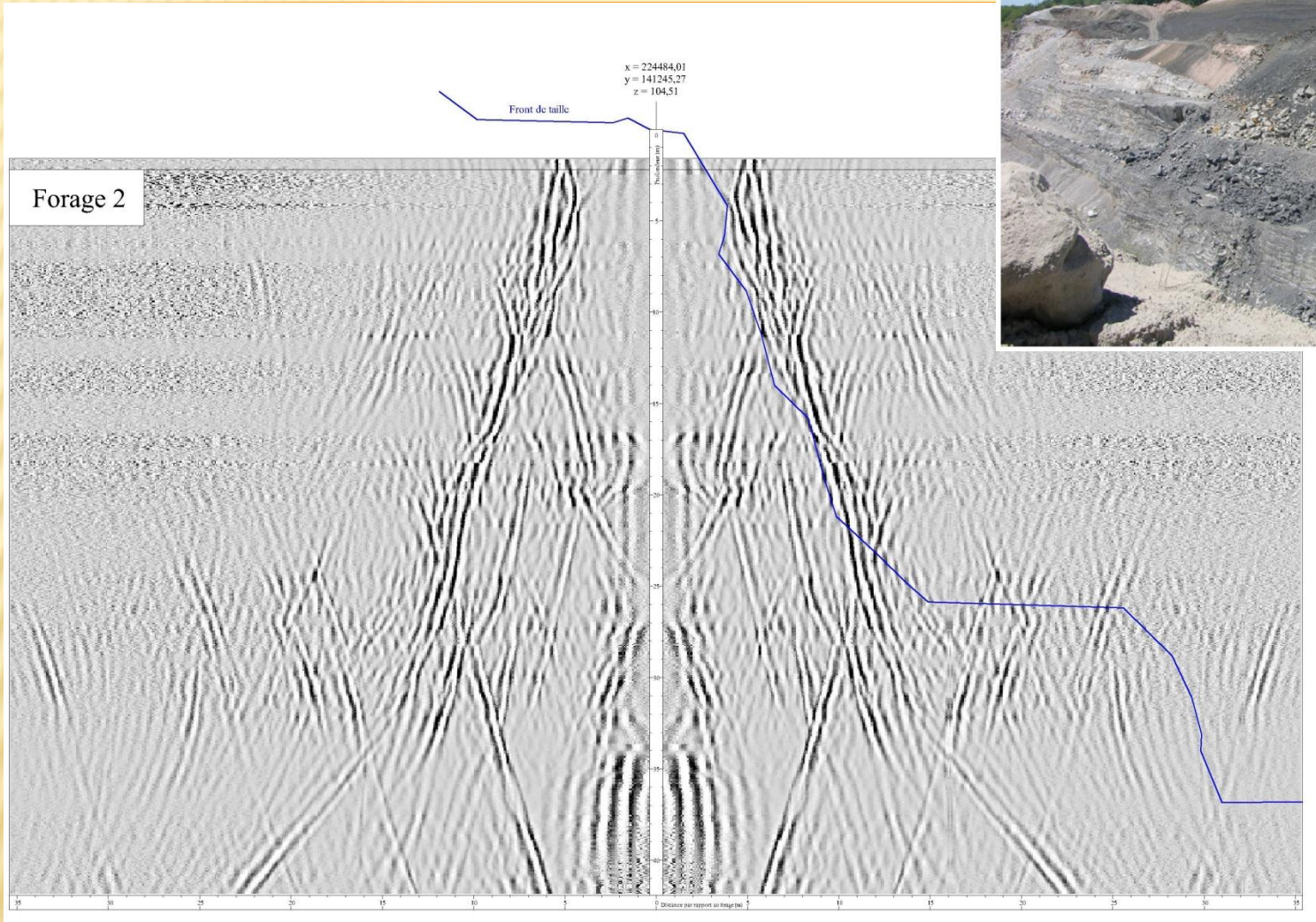


# Forage F1

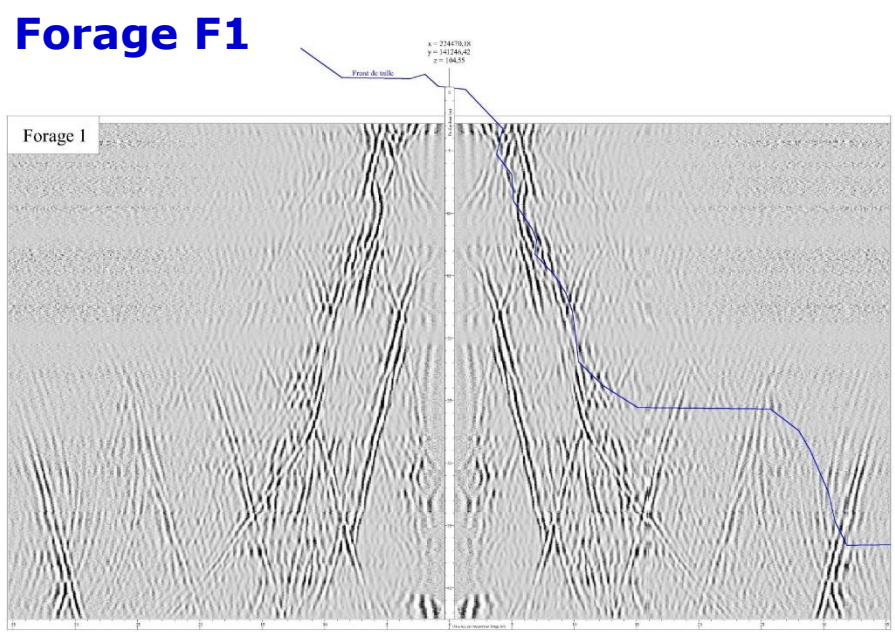
## Résultats: représentation du front



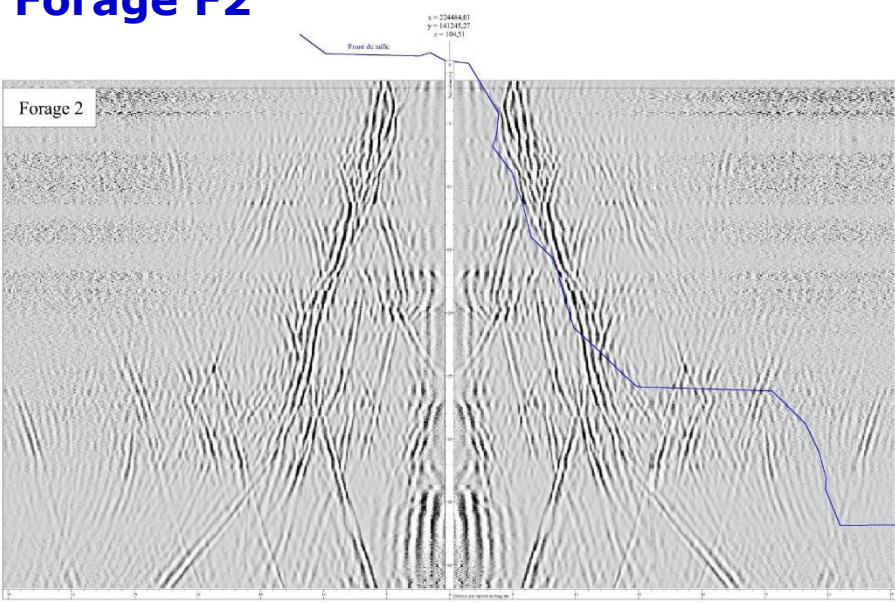
# Forage F2



## Forage F1



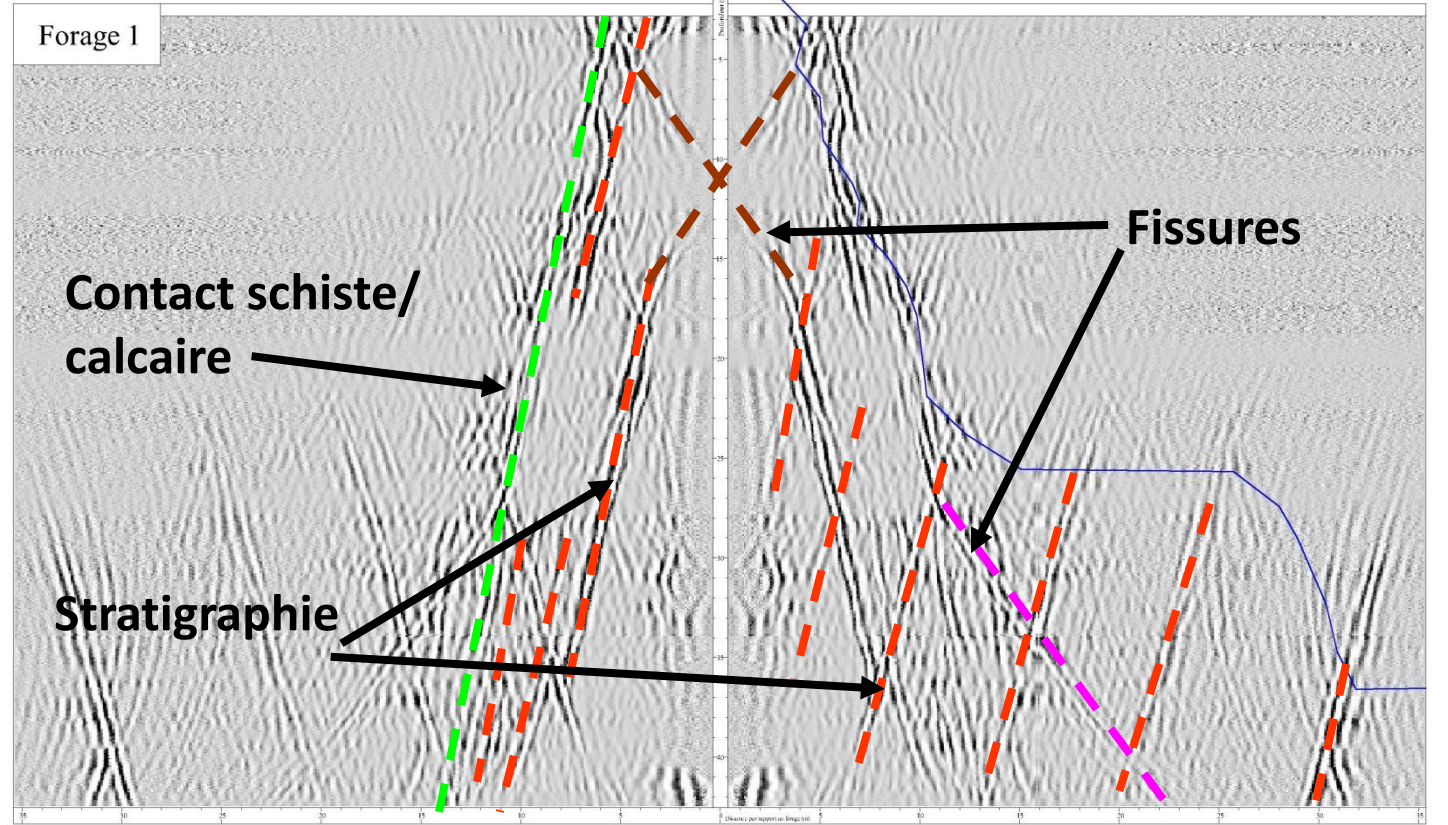
## Forage F2



# Forage F1

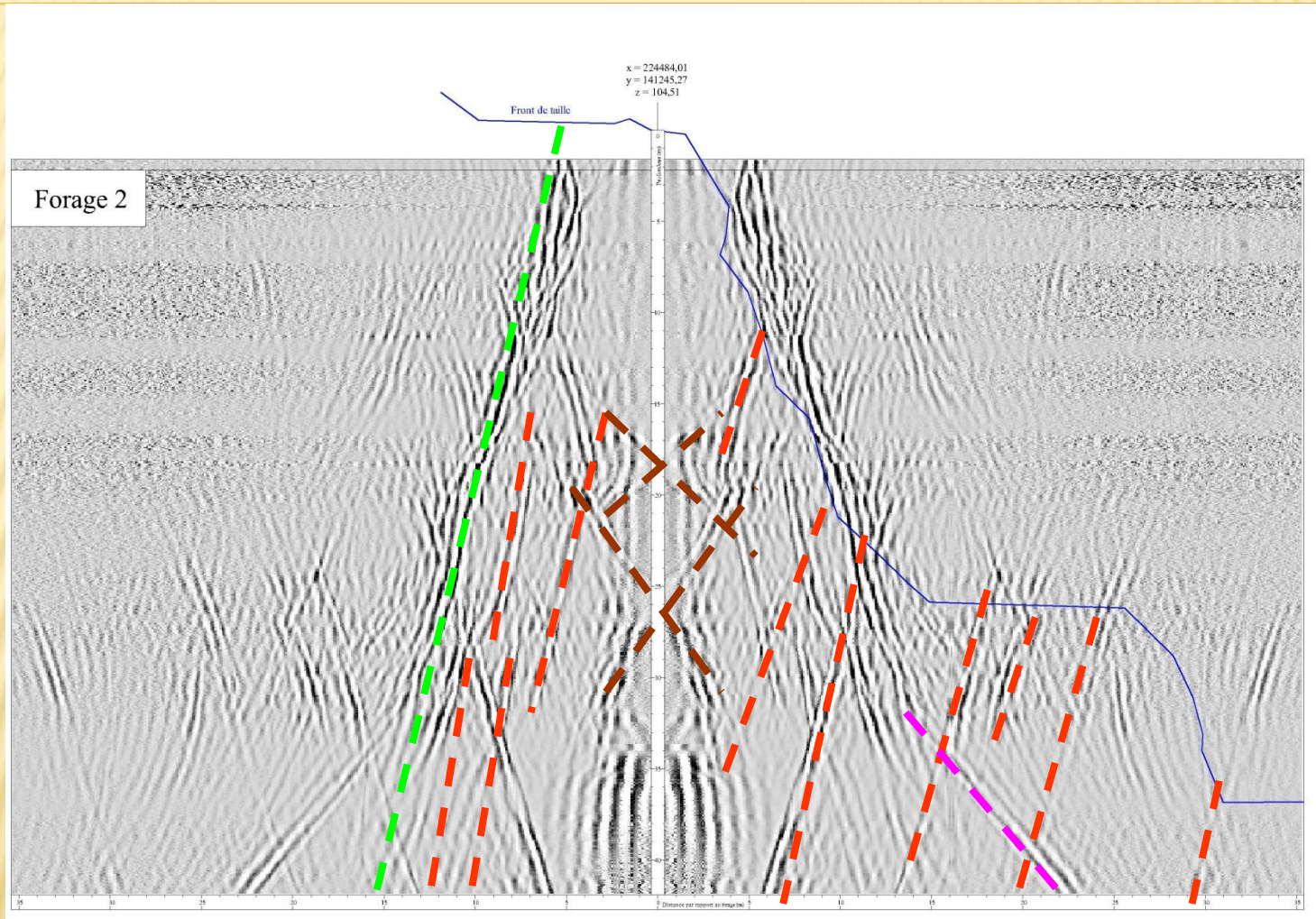
## Pendage stratigraphie

75°

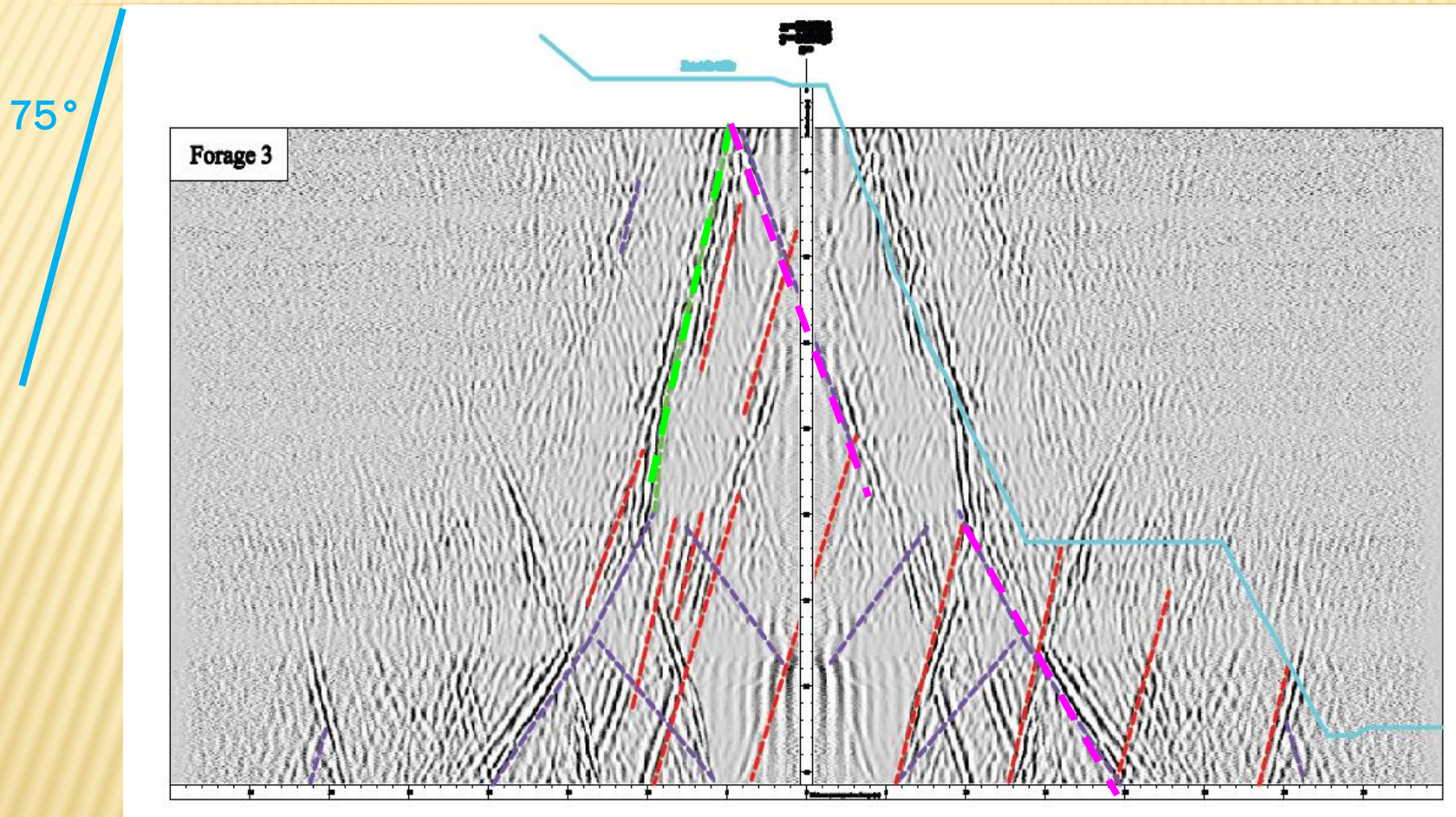


# Forage F2

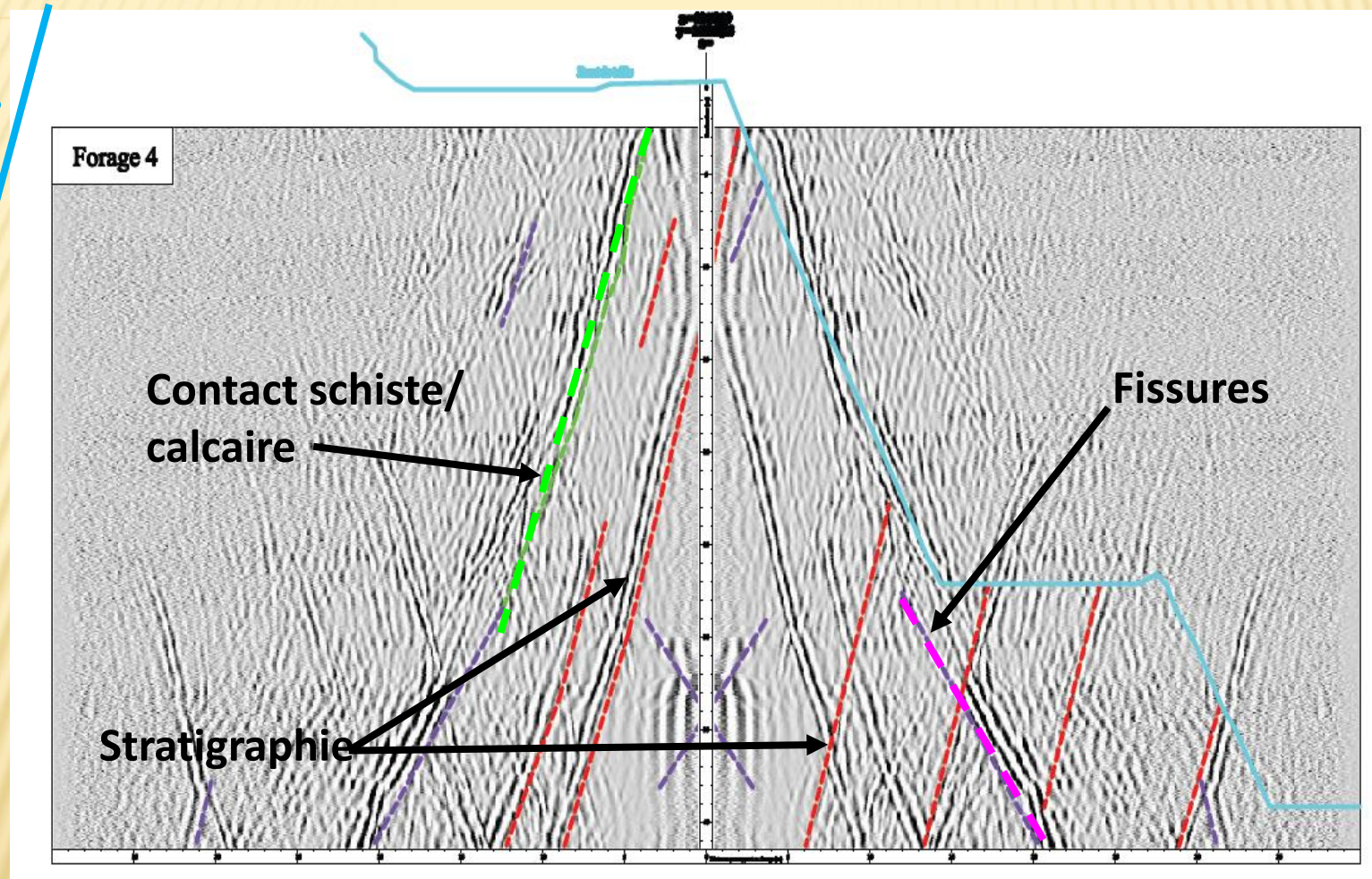
75°



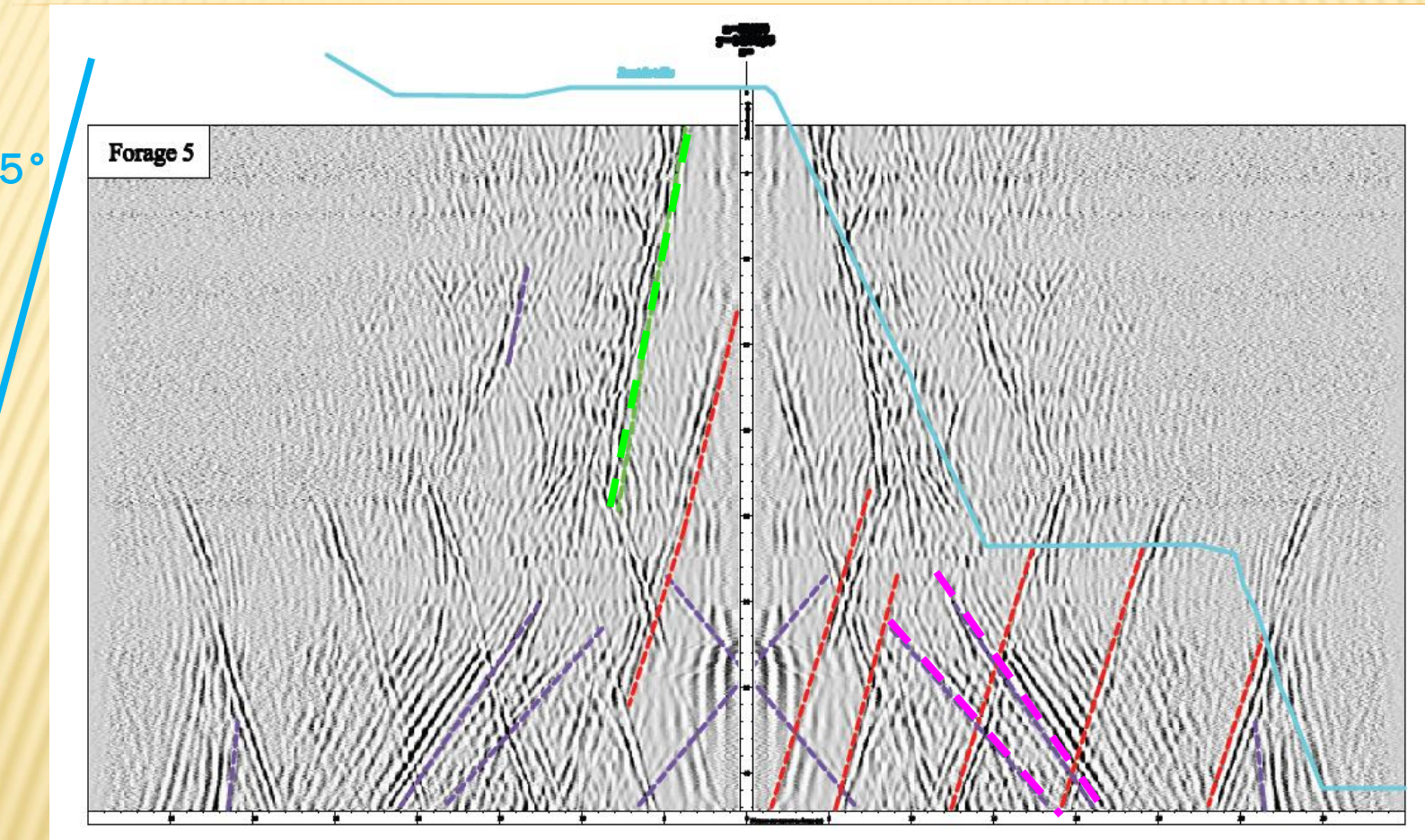
# Forage F3



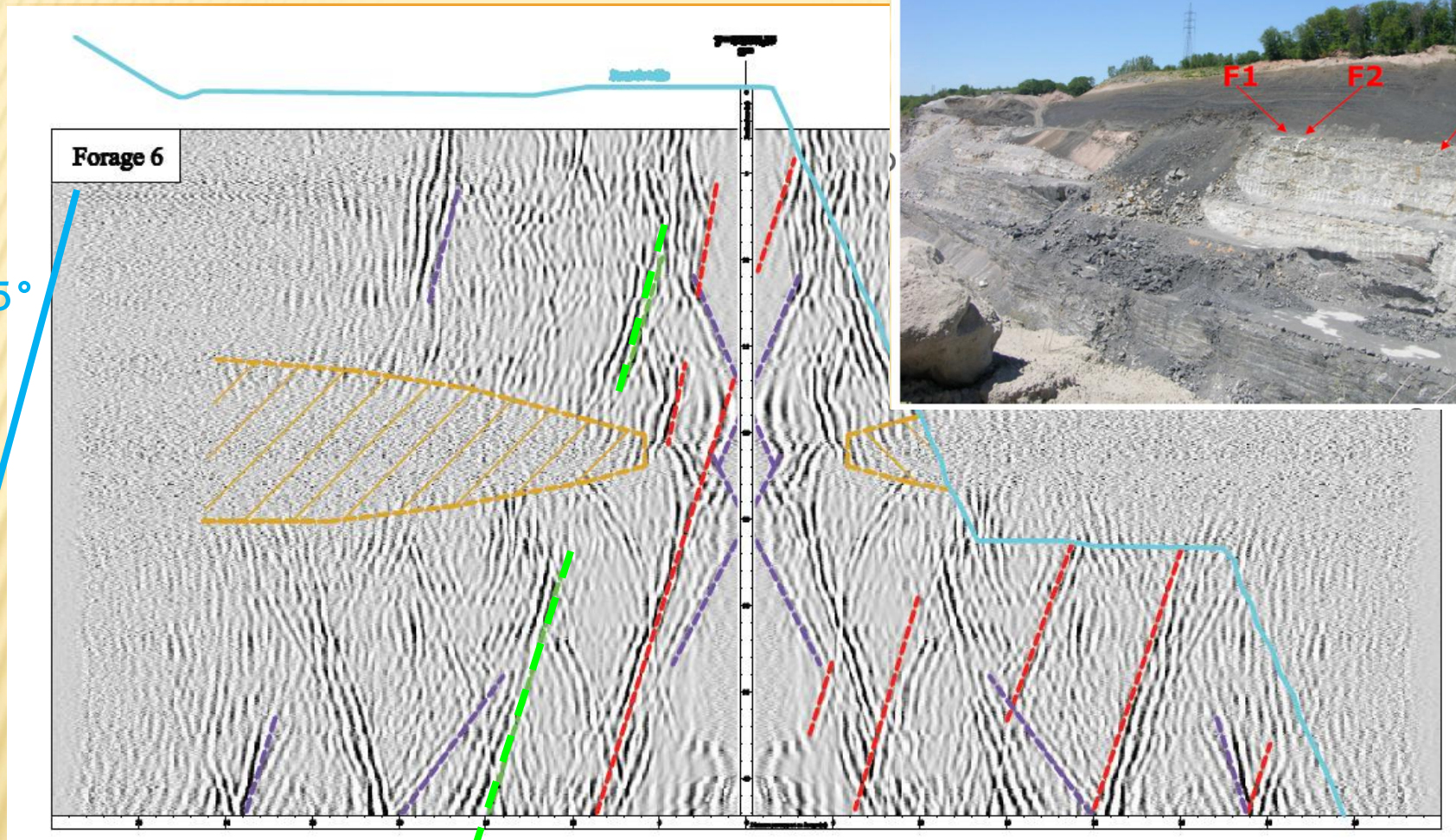
# Forage F4

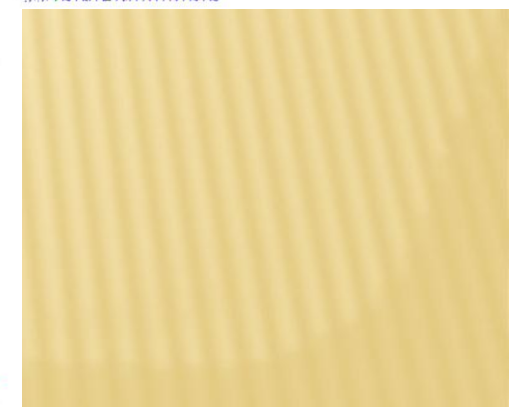
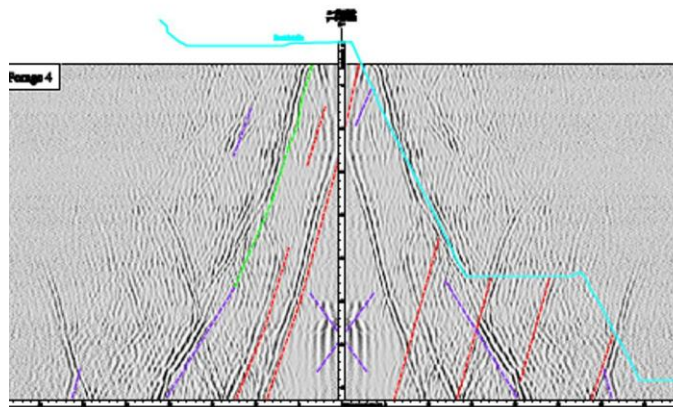
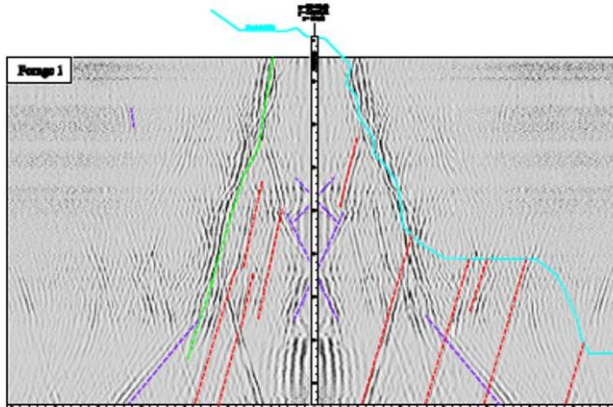
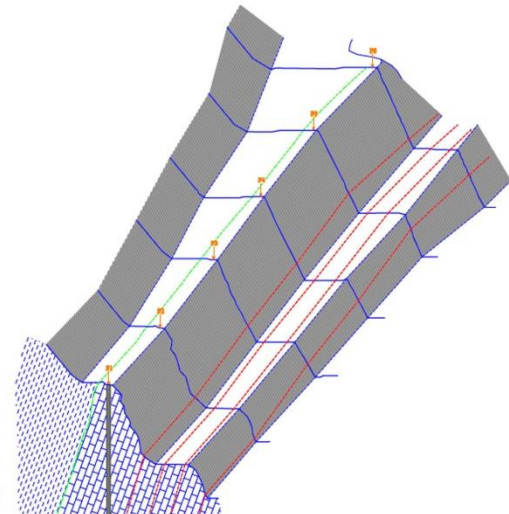
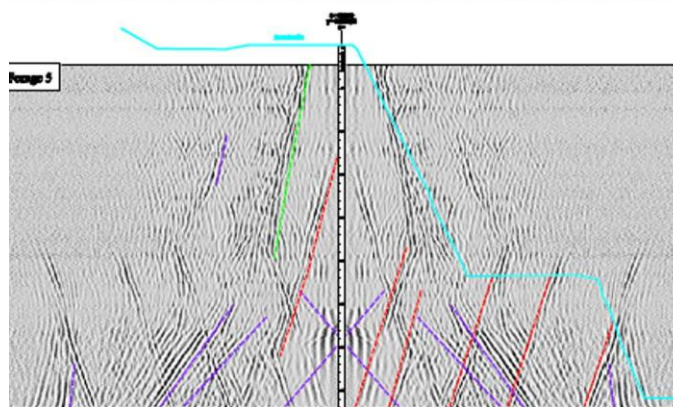
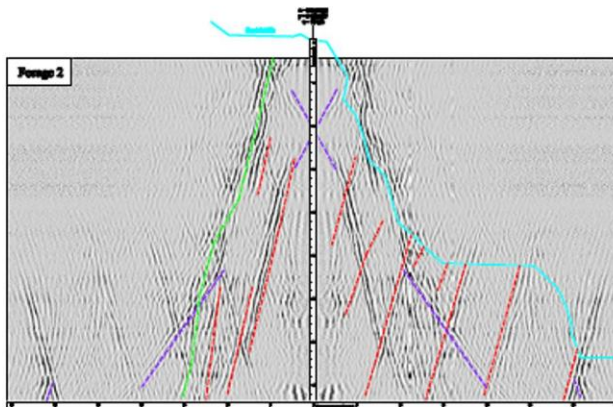
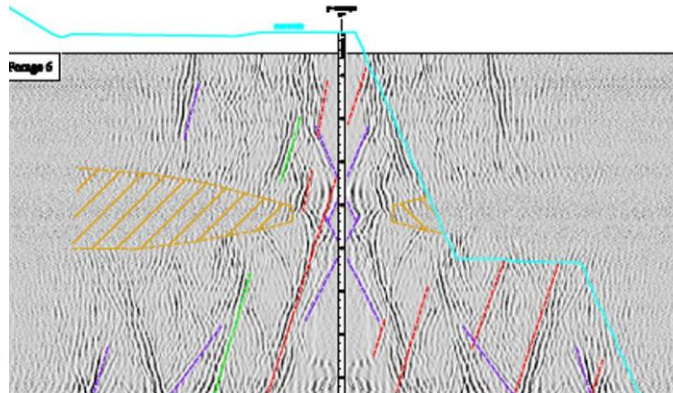
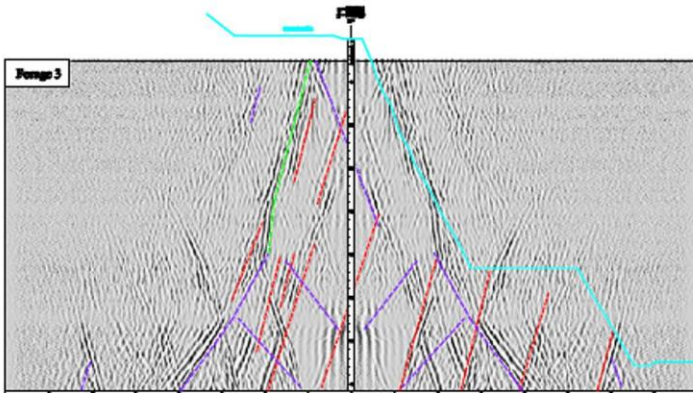


# Forage F5



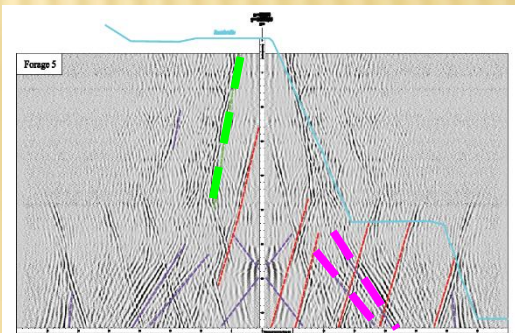
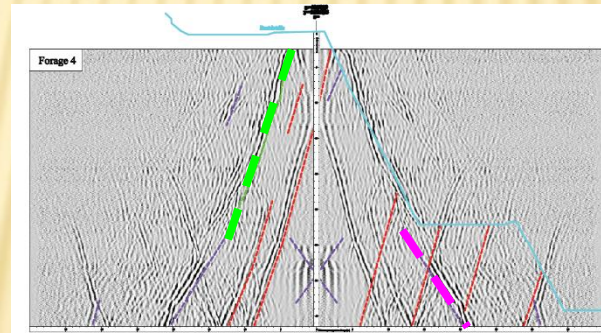
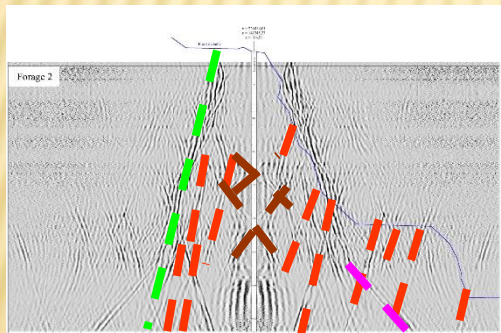
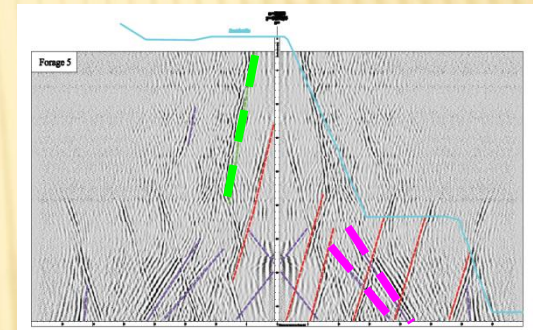
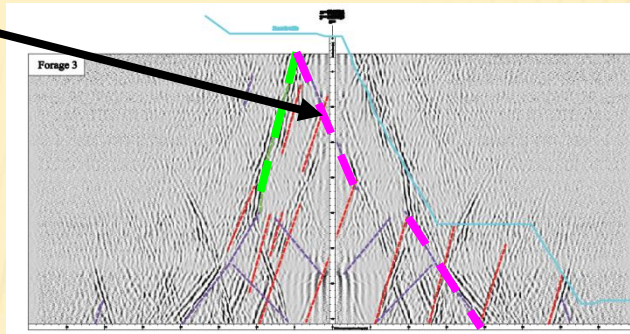
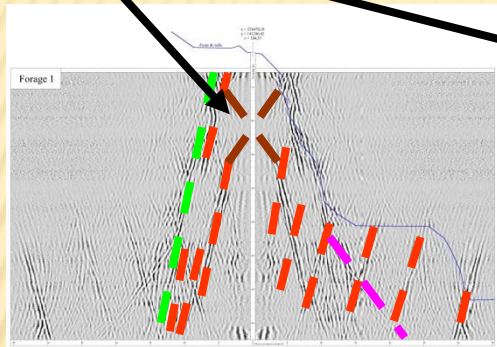
# Forage F6





# Forage F1 à F6

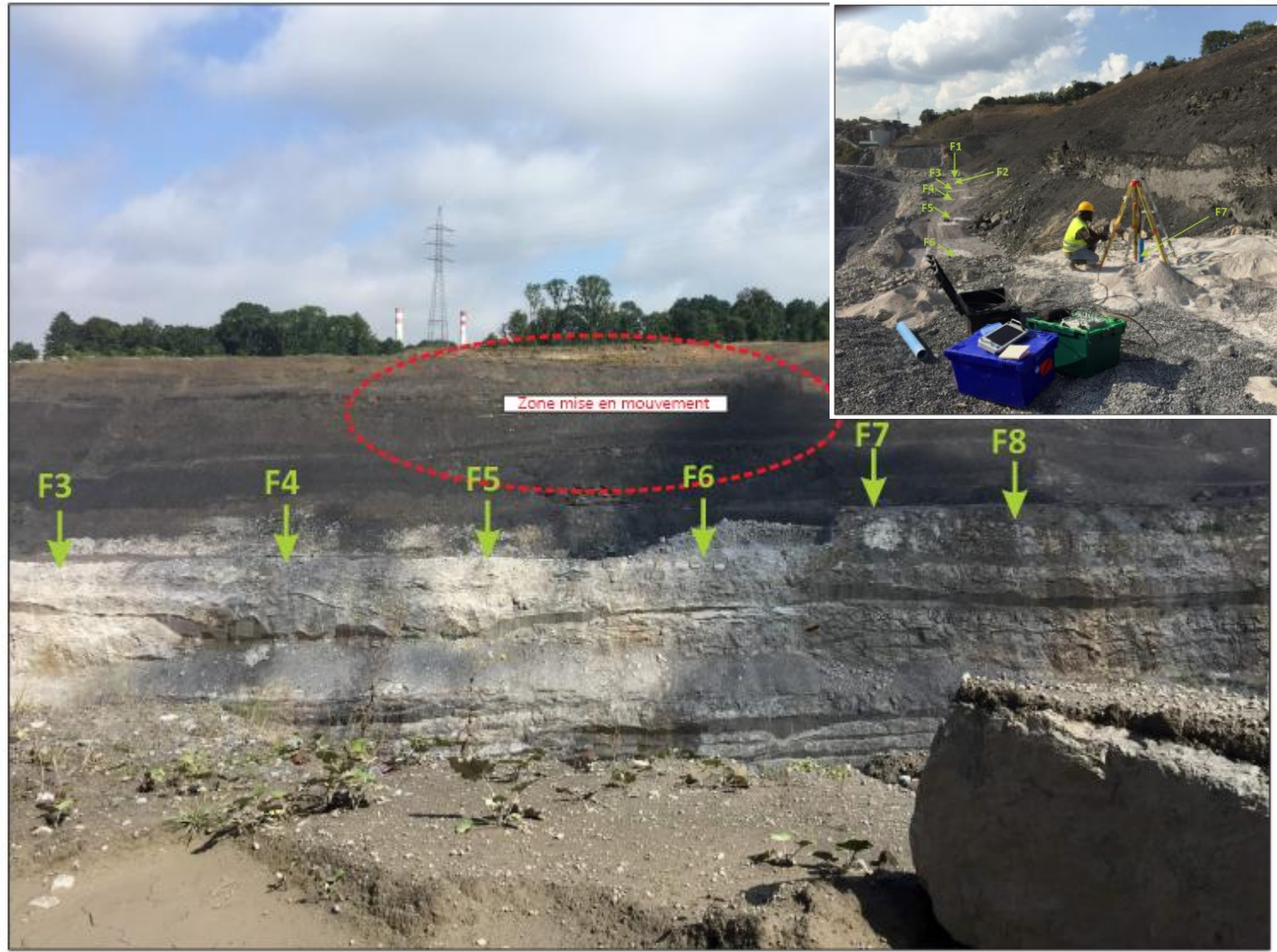
## Fissures à l'origine du premier glissement



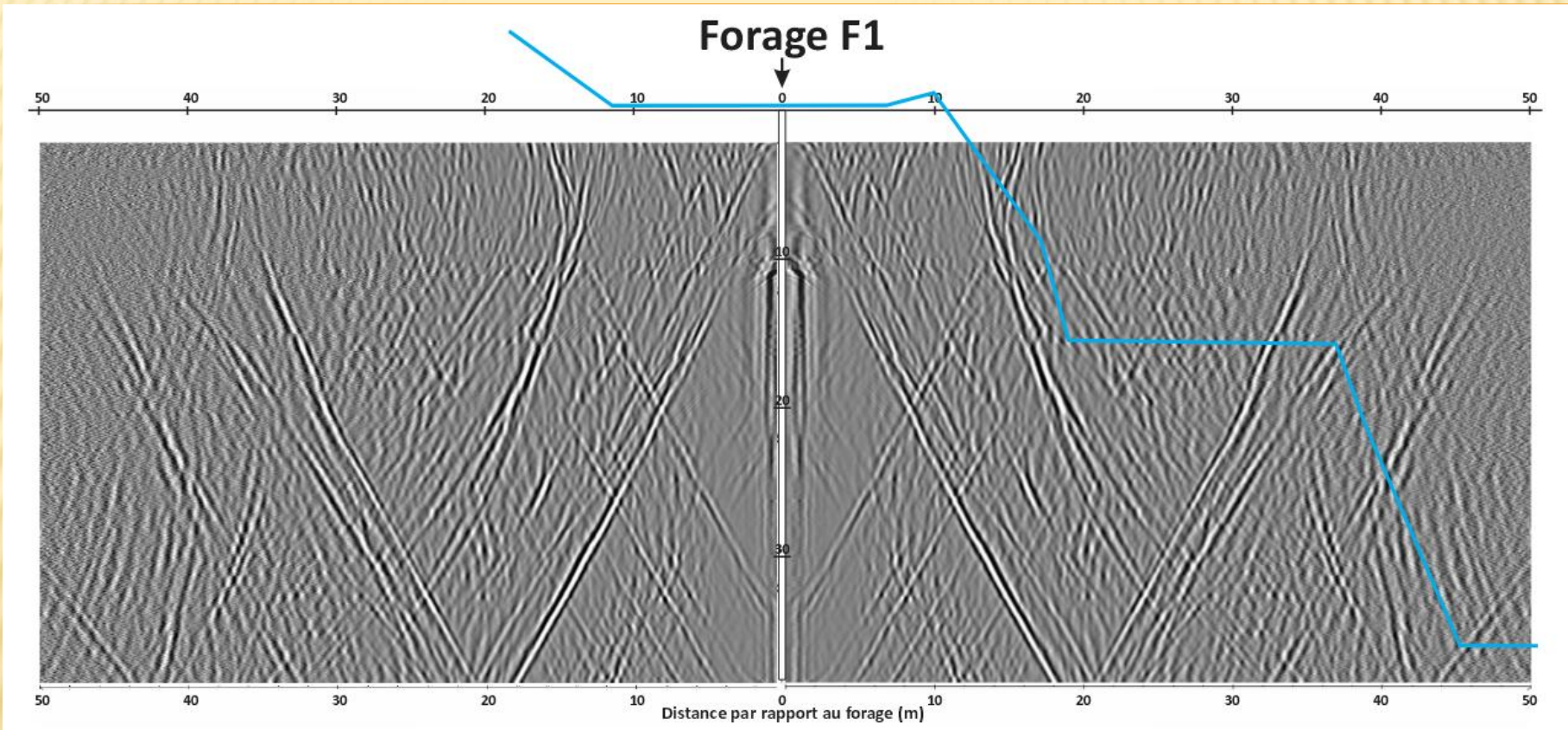


## **2<sup>ème</sup> glissement: 2016: mouvements dans les schistes**



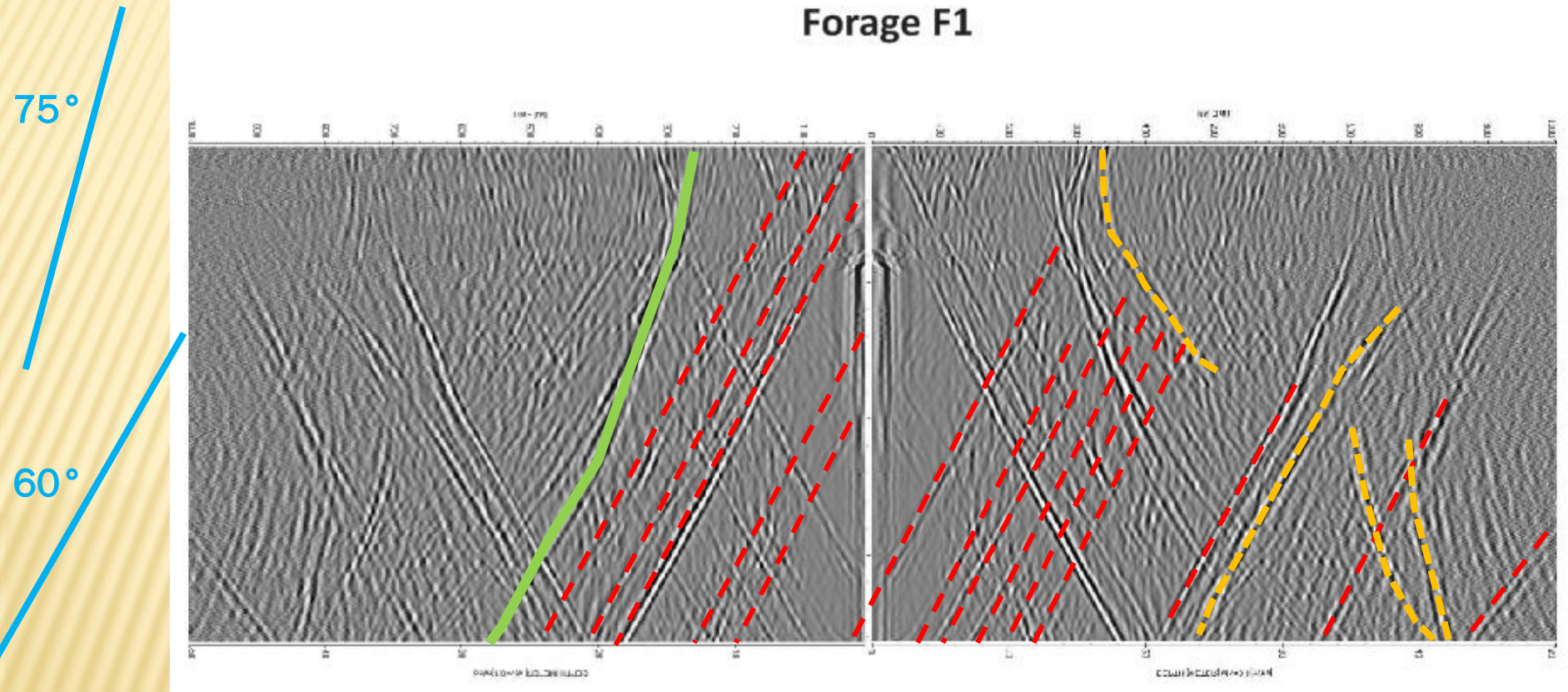


# Forage F1



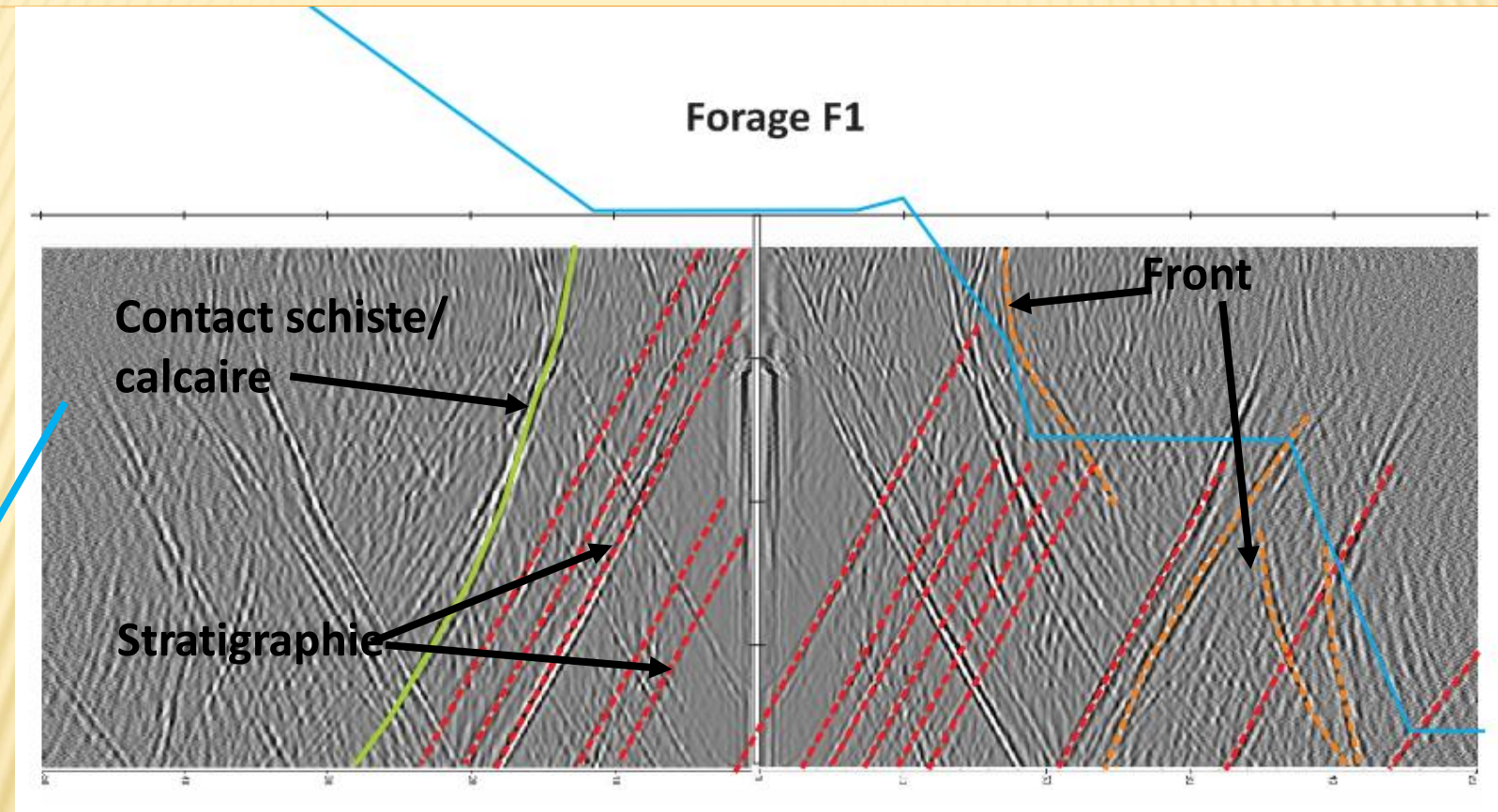
# Forage F1

Forage F1

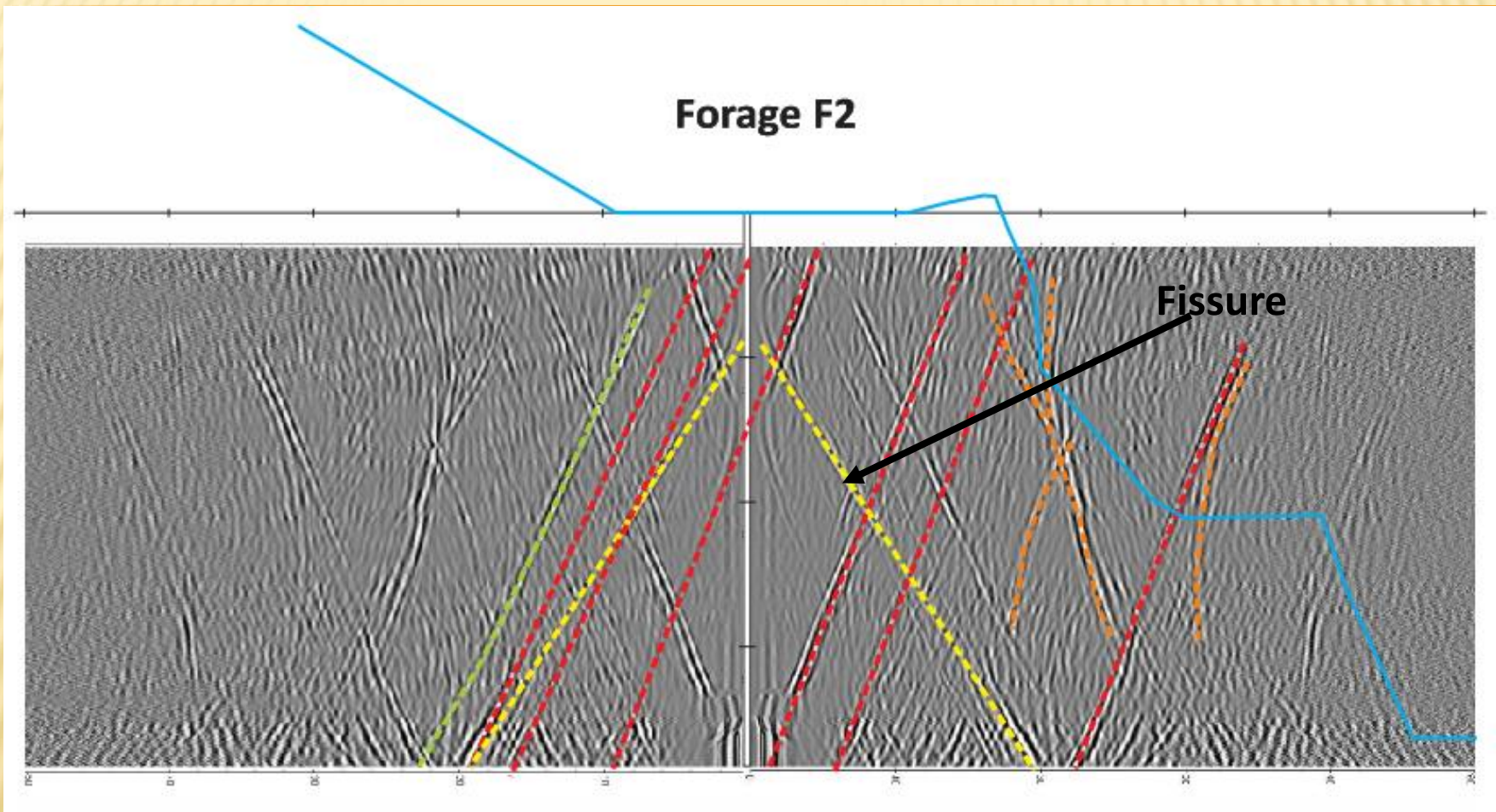


# Forage F1

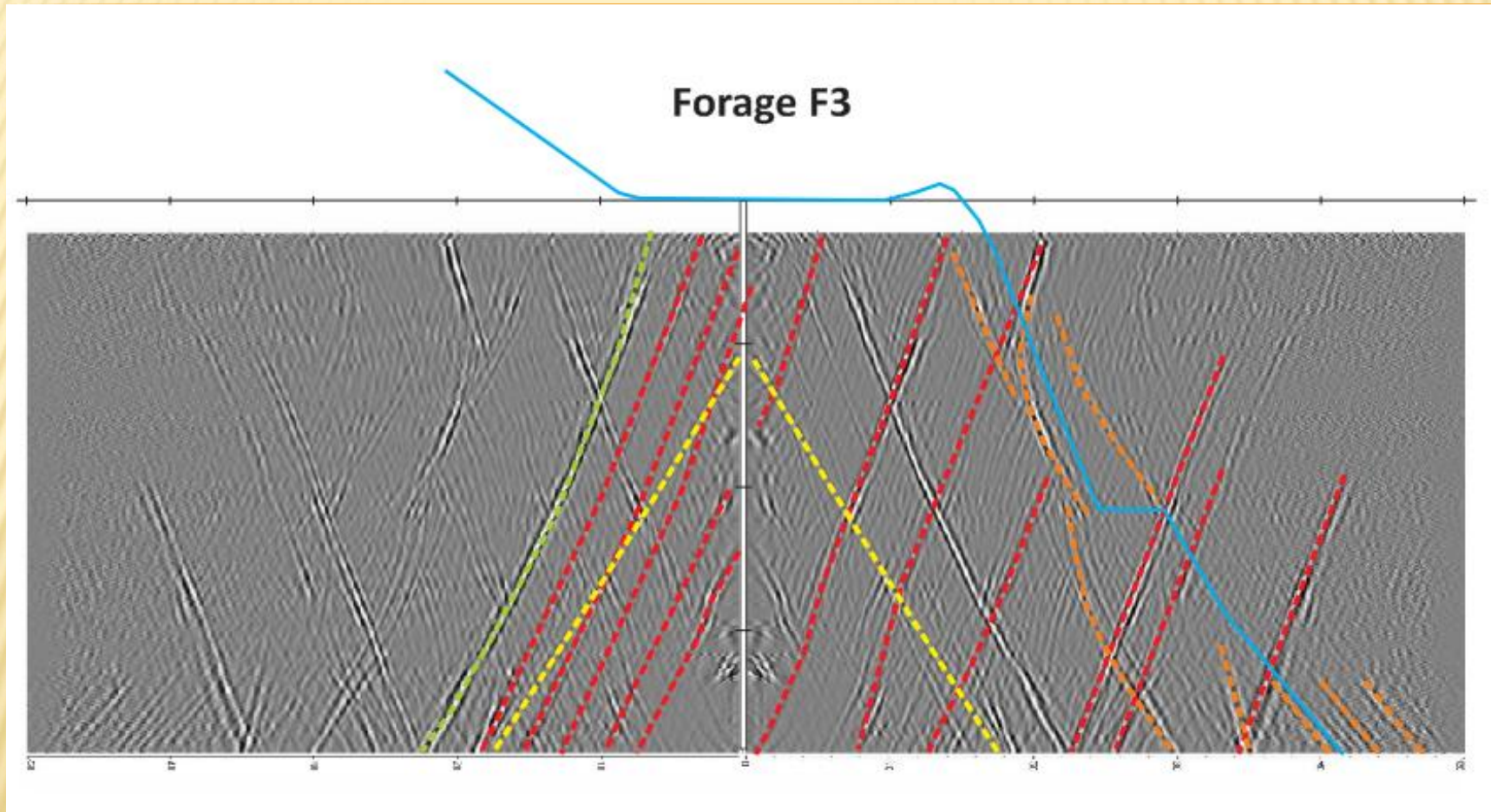
Pendage  
stratigraphie



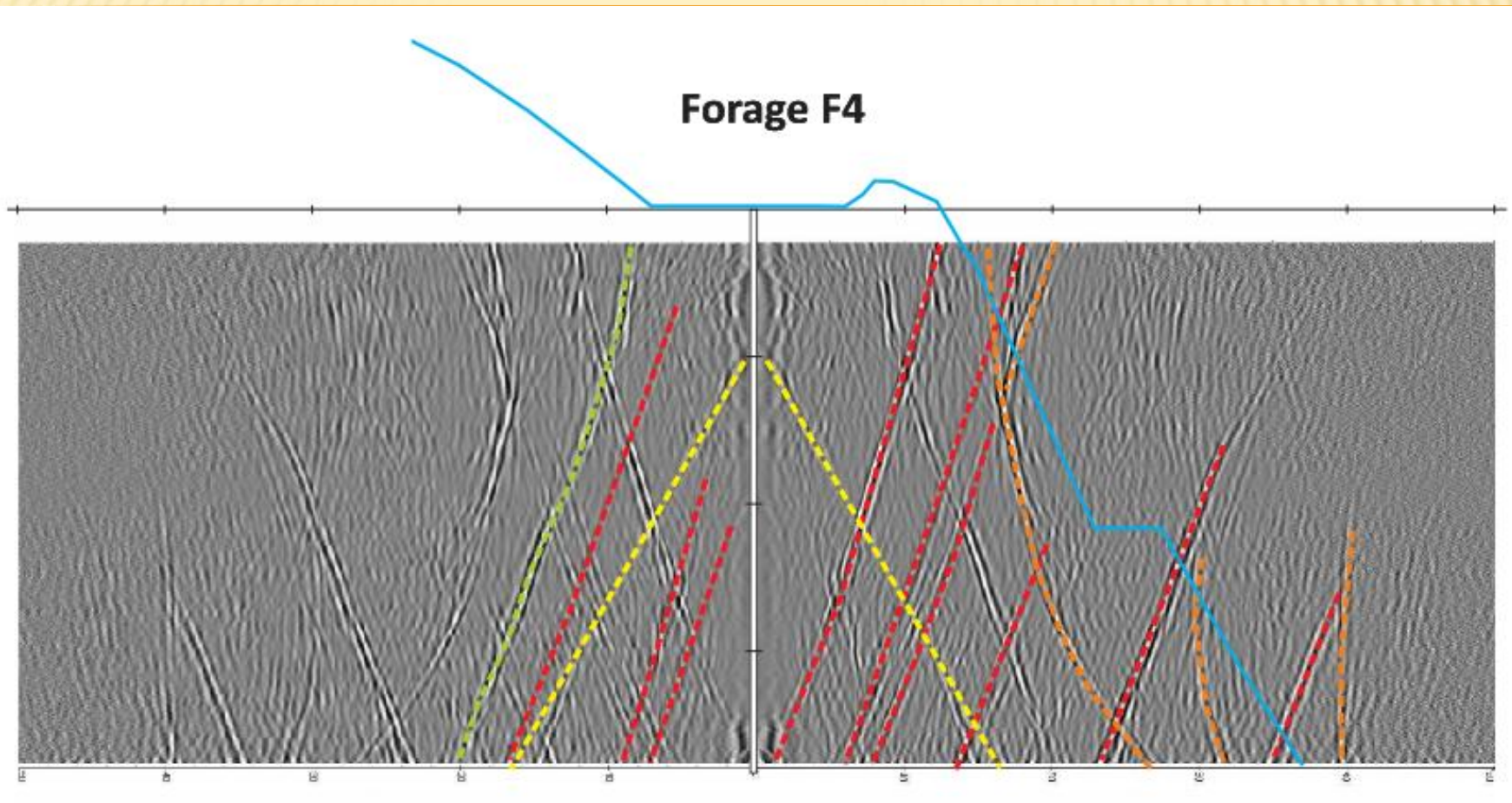
# Forage F2



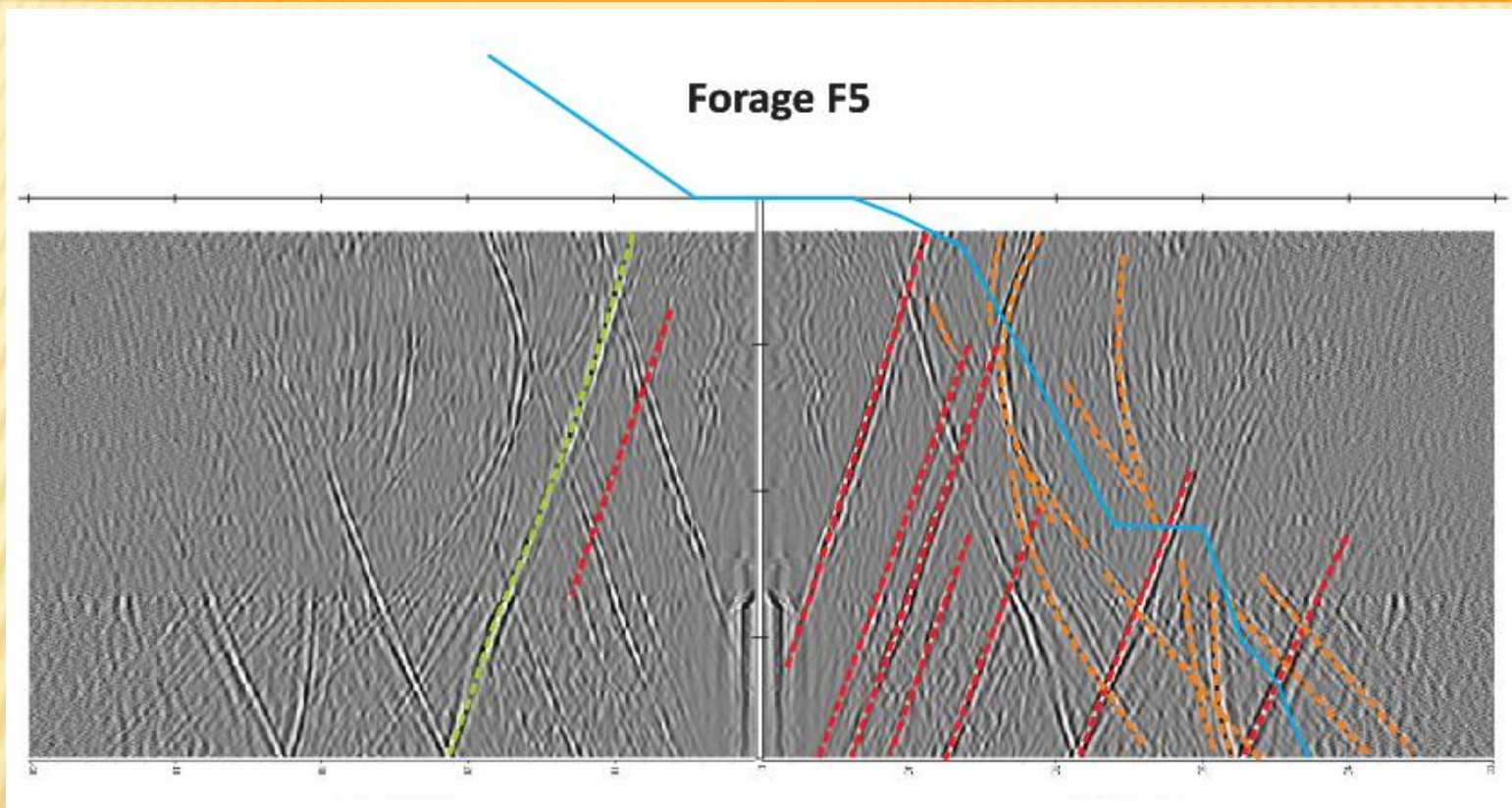
# Forage F3



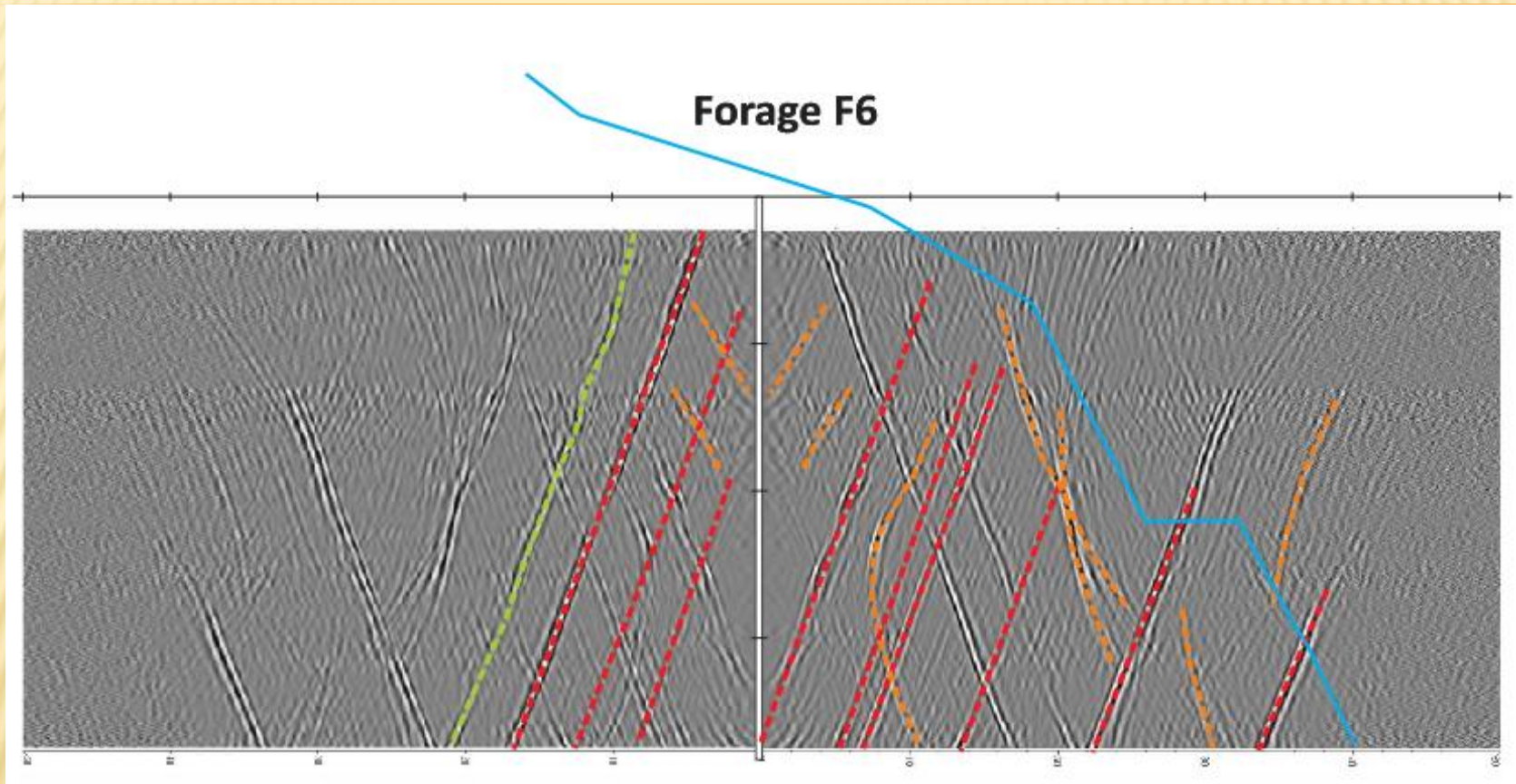
# Forage F4



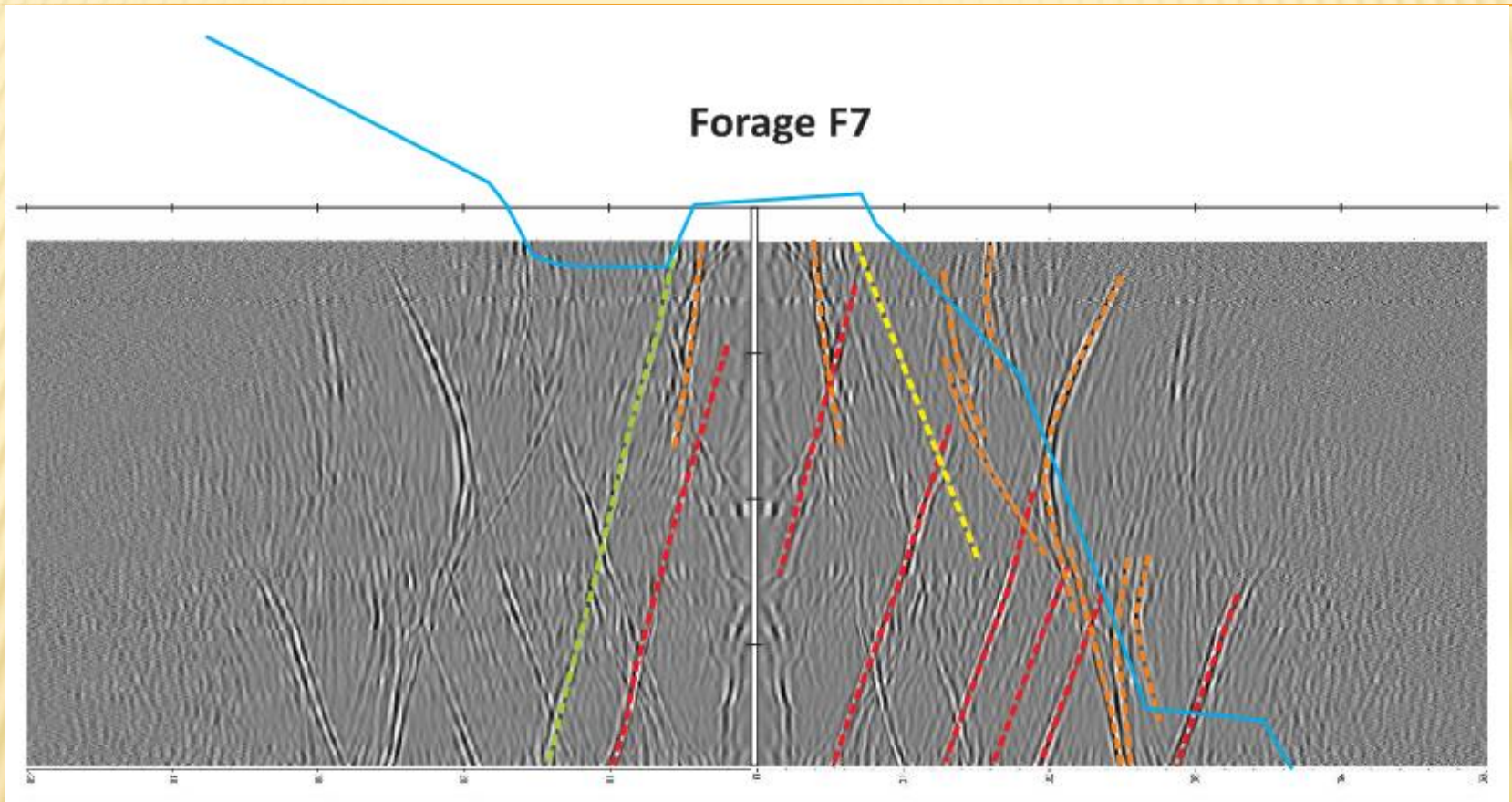
# Forage F5



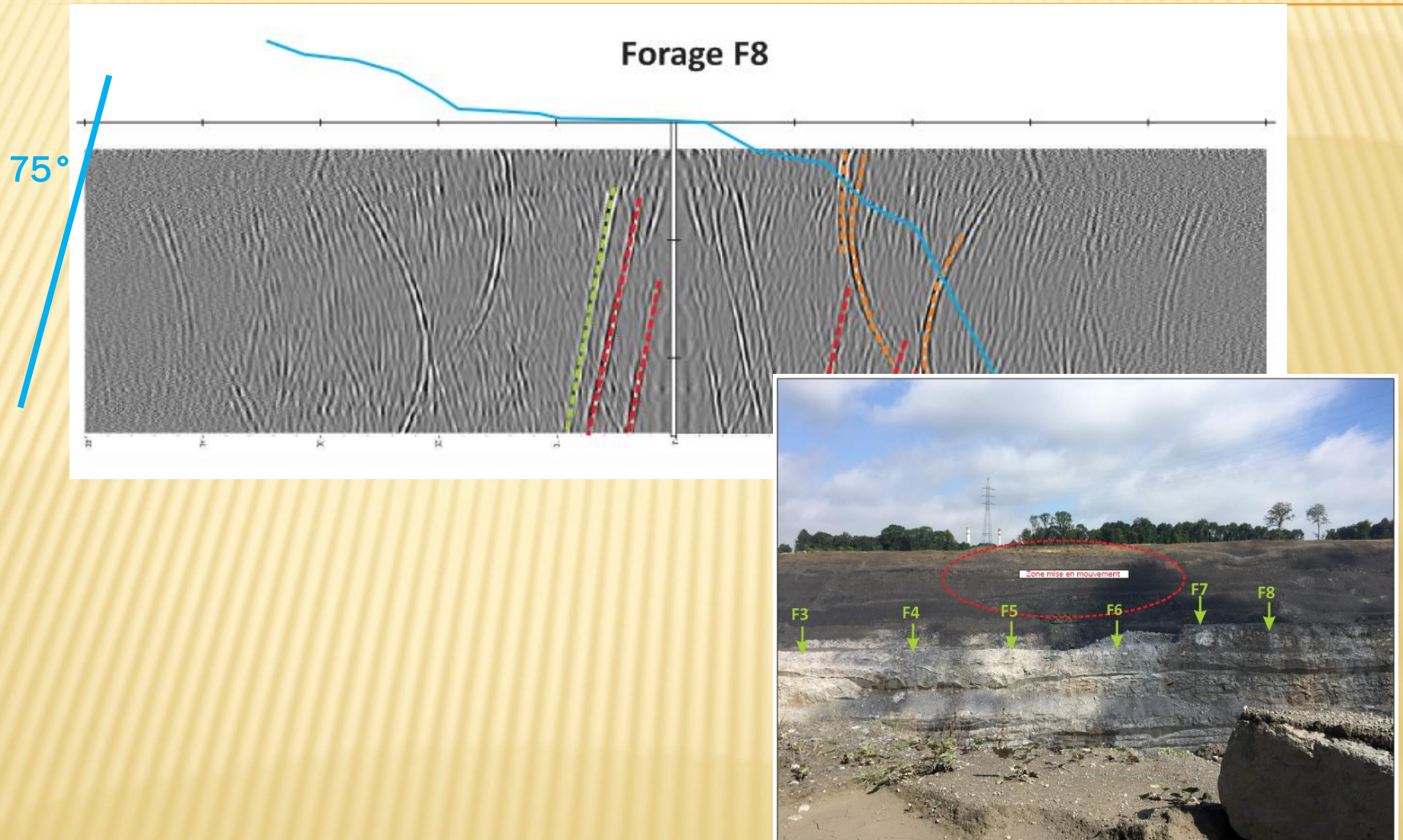
# Forage F6



# Forage F7

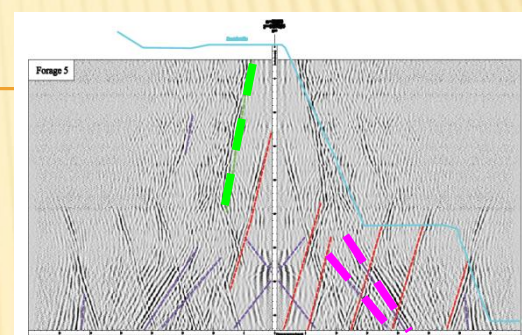
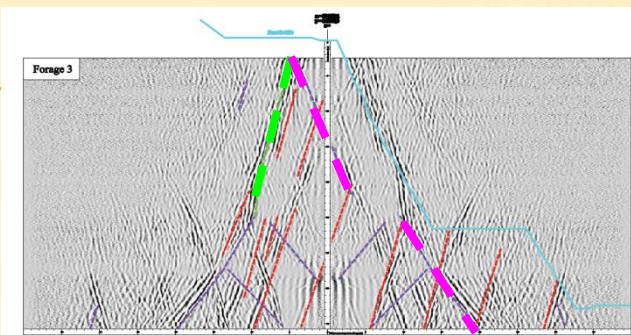
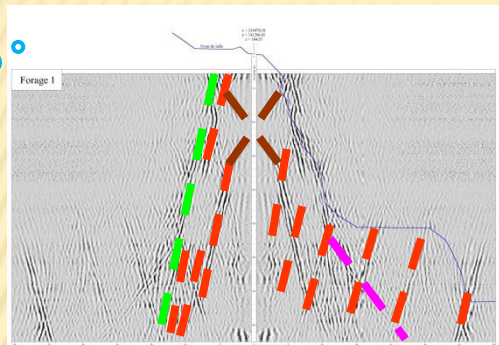


# Forage F8

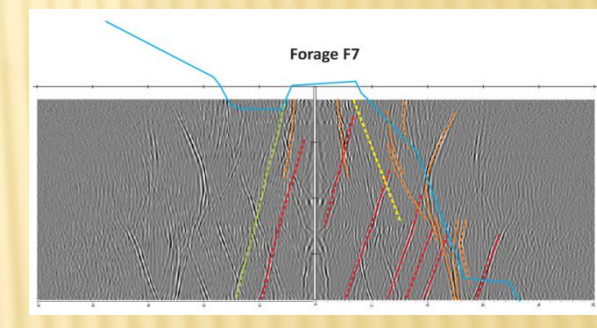
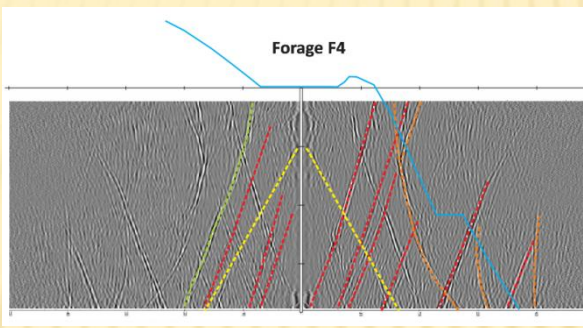
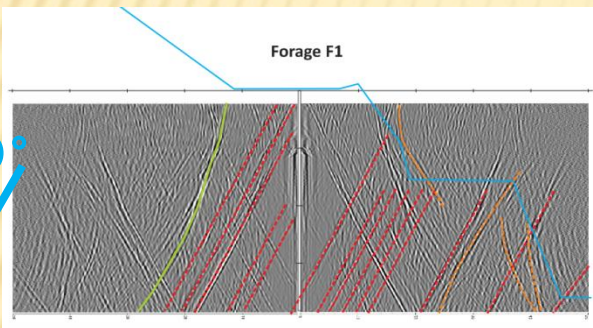


# Synthèse Investigations 1<sup>er</sup> et 2<sup>ème</sup> glissement

75°



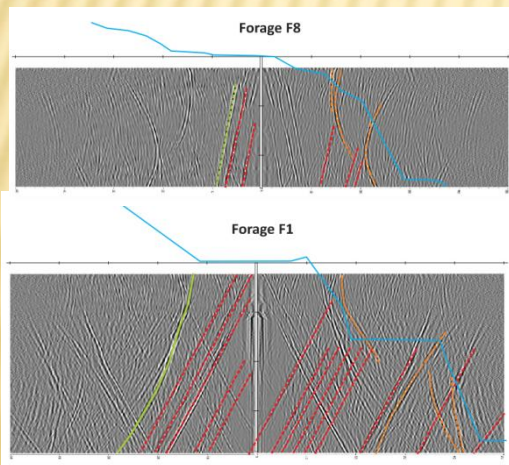
60°



**Contact Calcaire/Schiste: régulier et pas karstifié**

**Quelques fissures dans la poutre calcaire**

**Pendage de la stratigraphie plus faible en profondeur  
lié à la structure du synclinal**



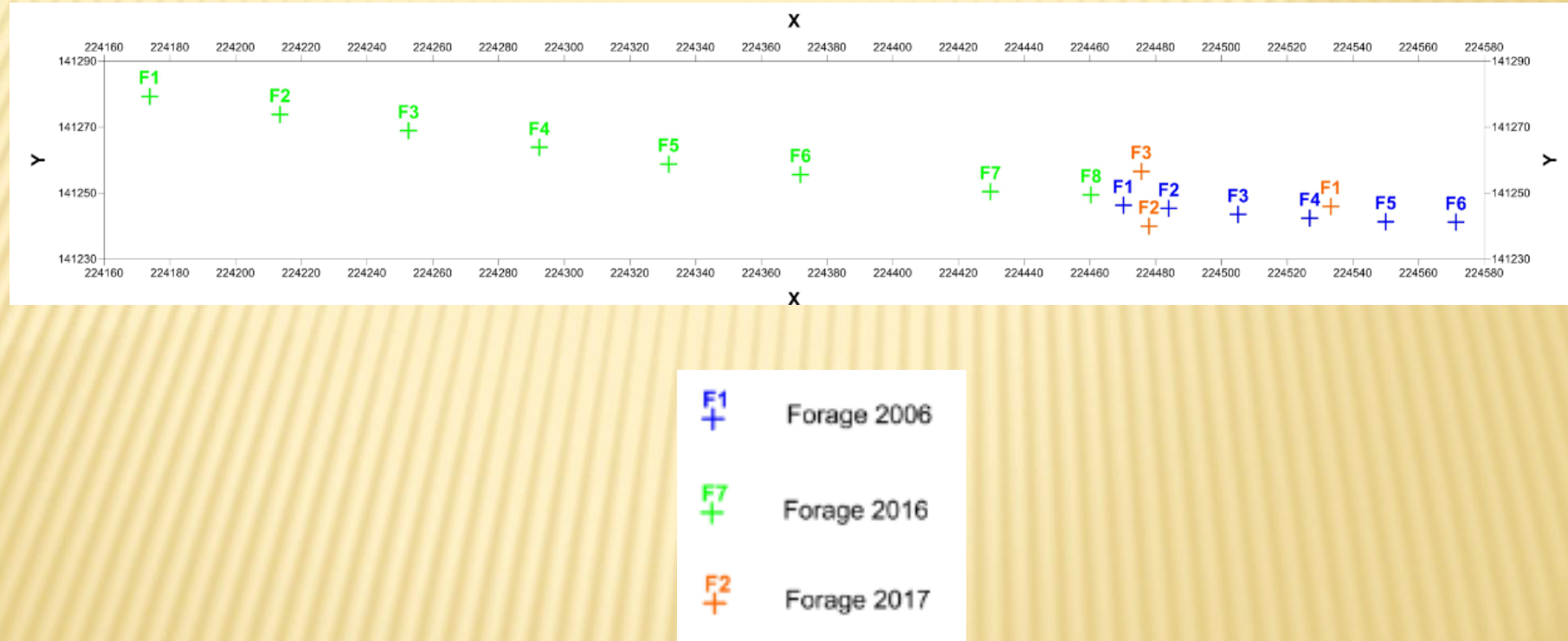
# Troisième glissement 2017



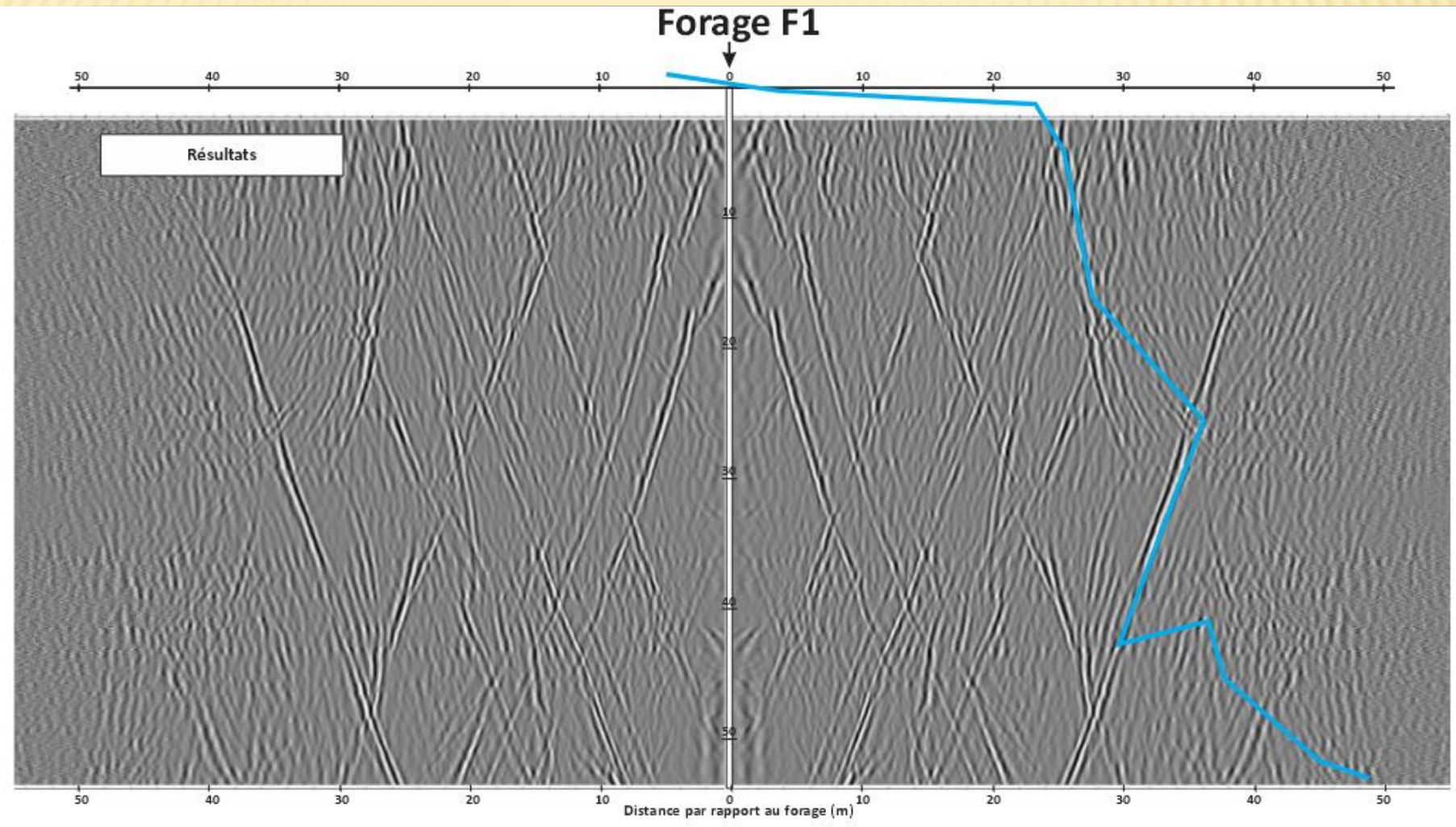
# Implantation des forages



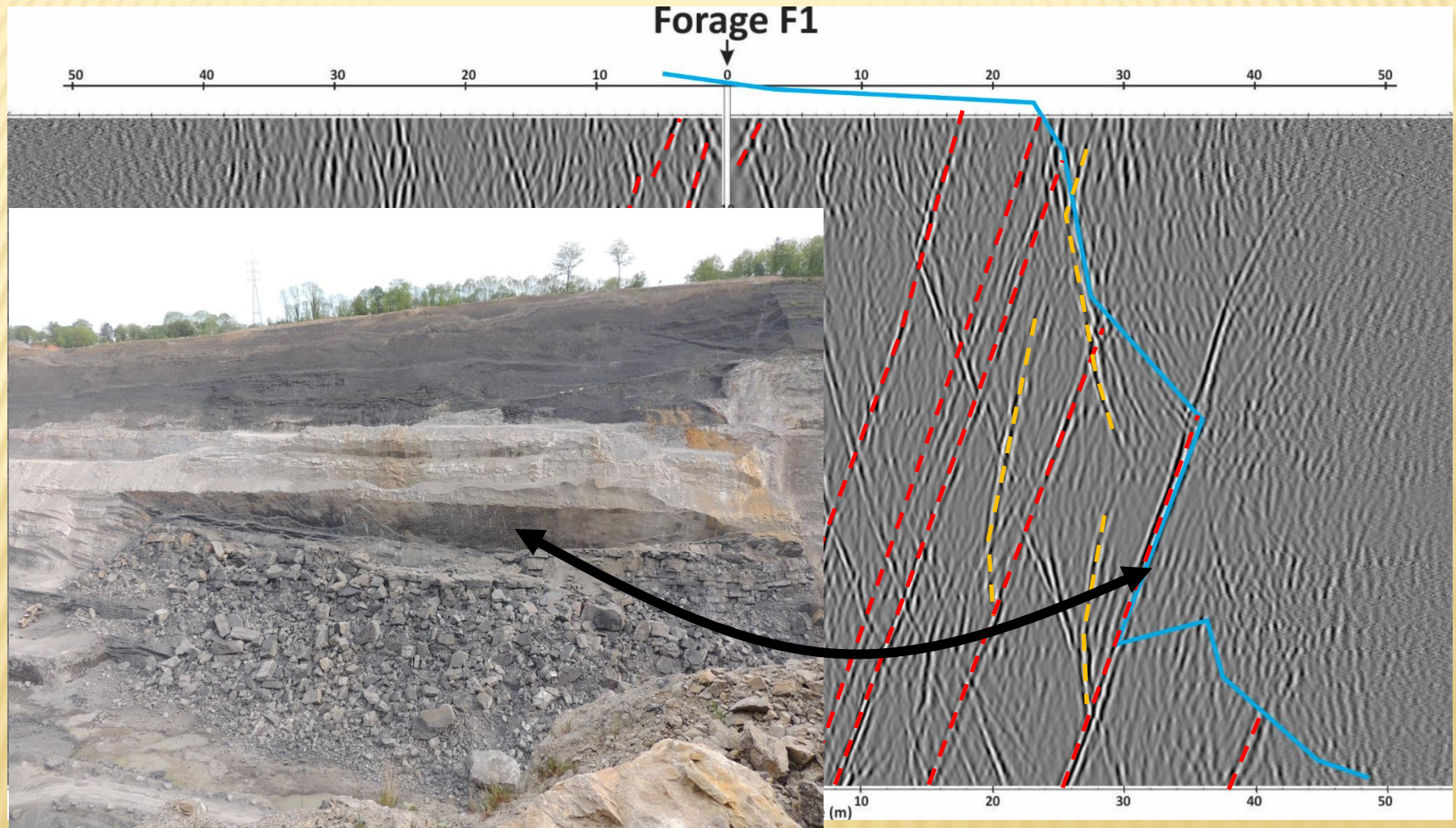
# Implantation des forages



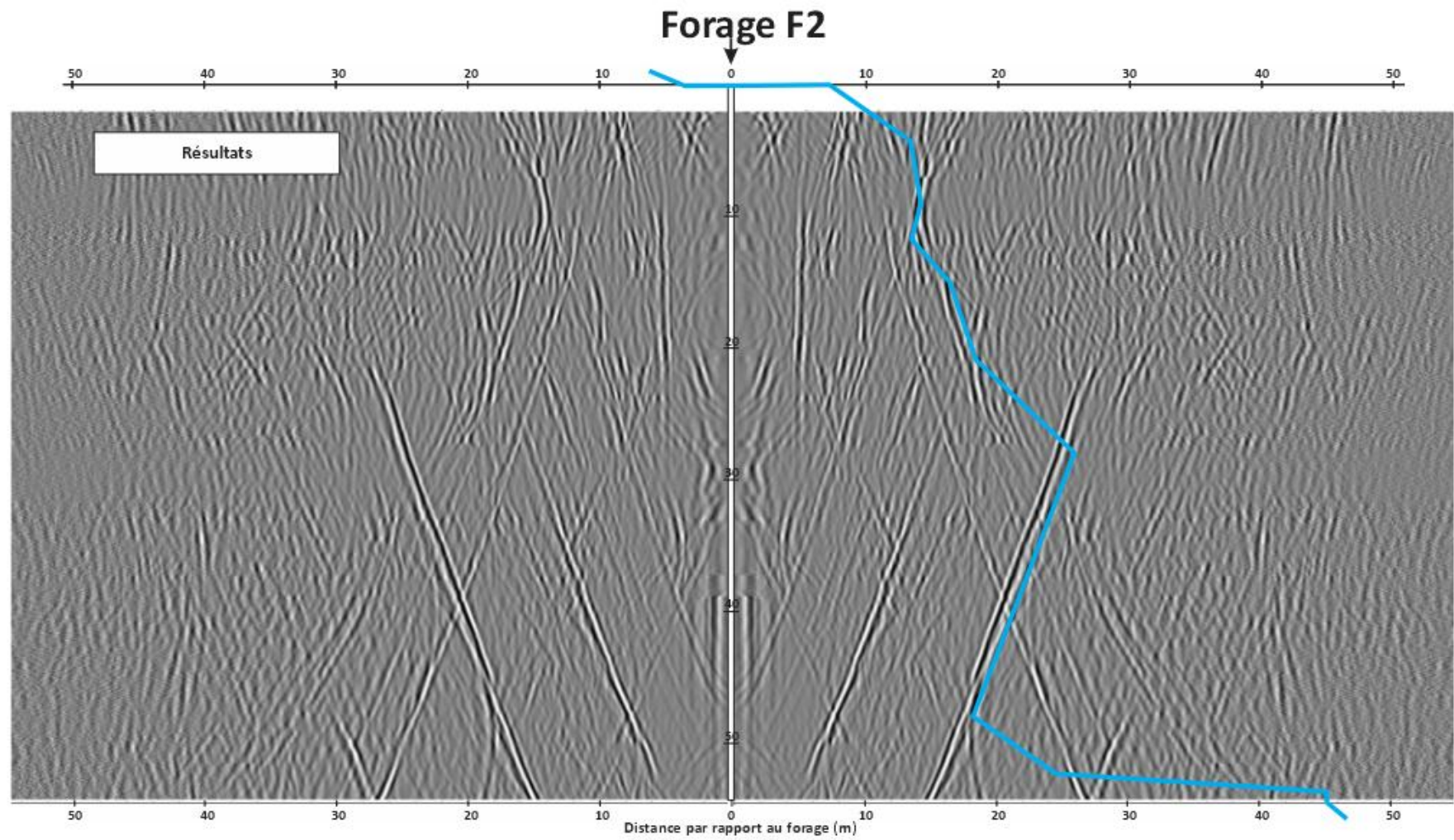
# Résultats: Forage 1



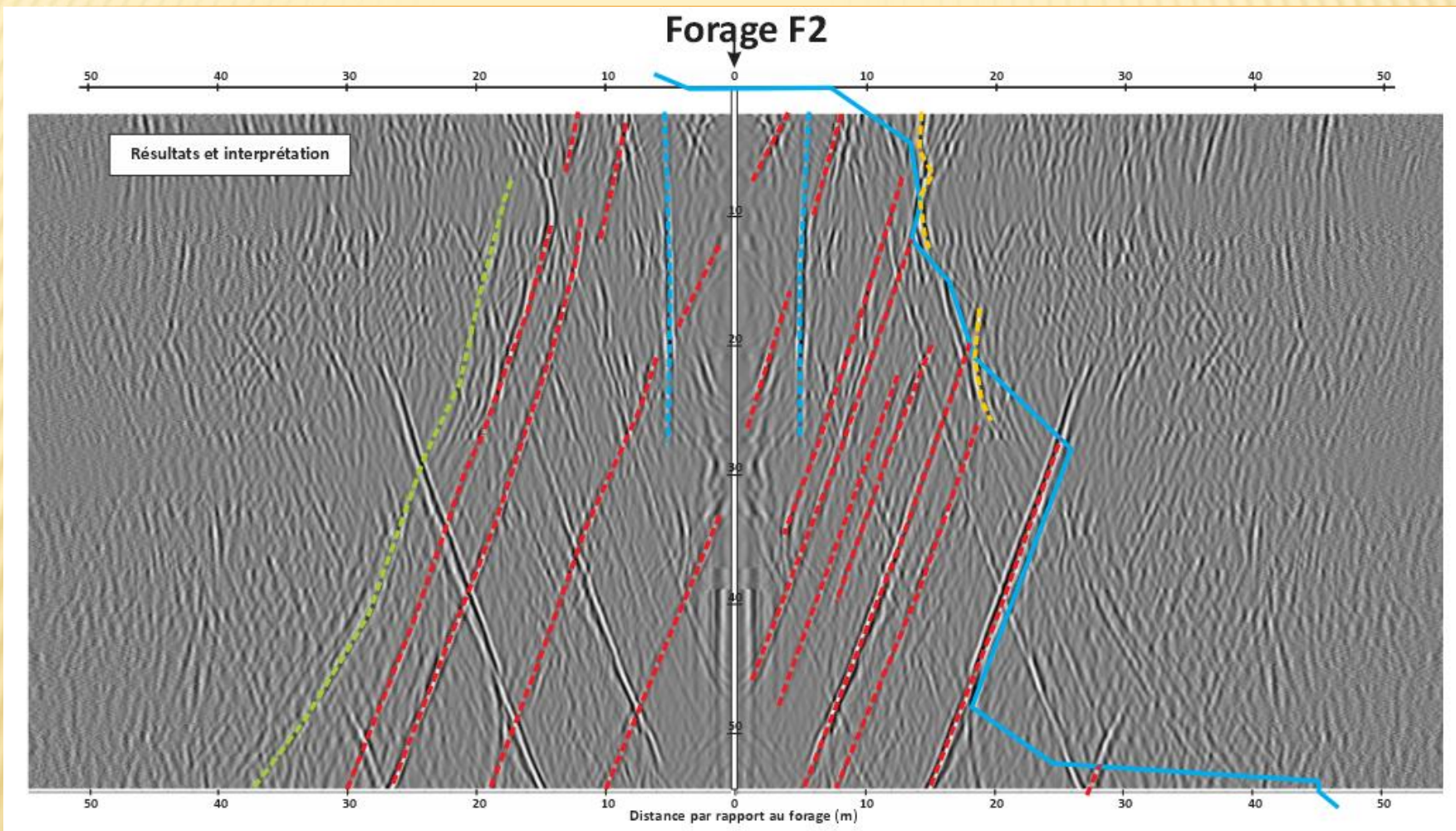
# Résultats: Forage 1



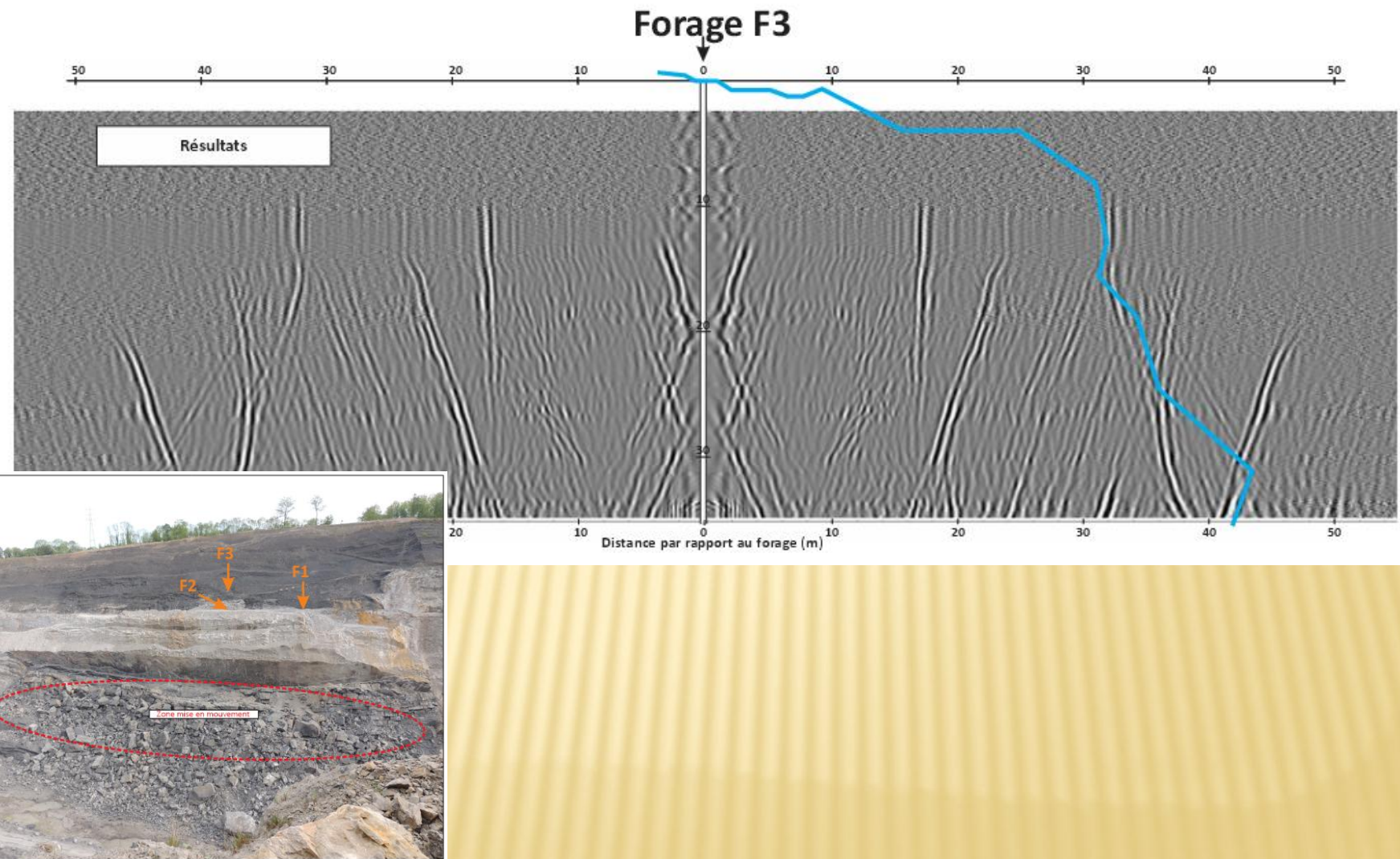
# Résultats: Forage 2



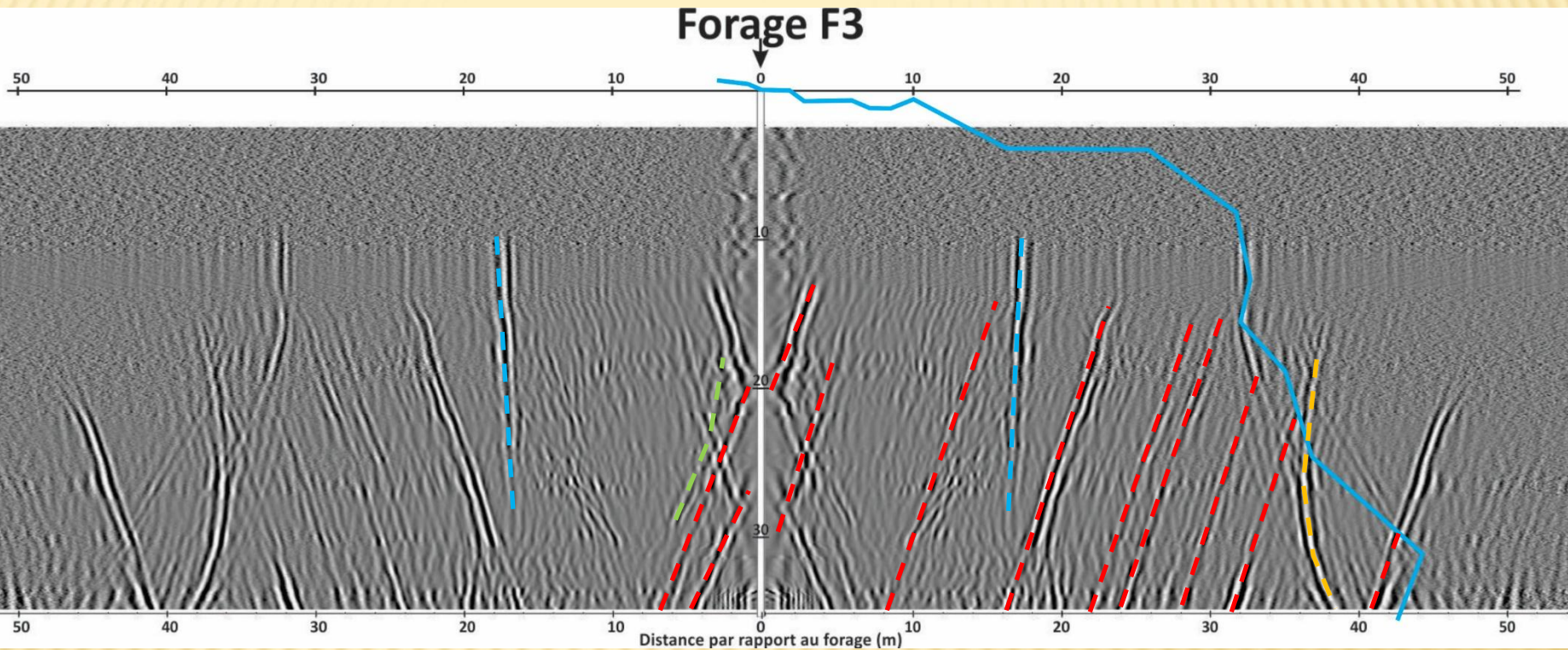
# Résultats: Forage 2



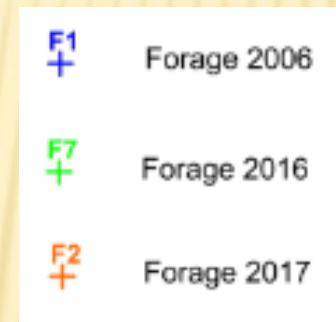
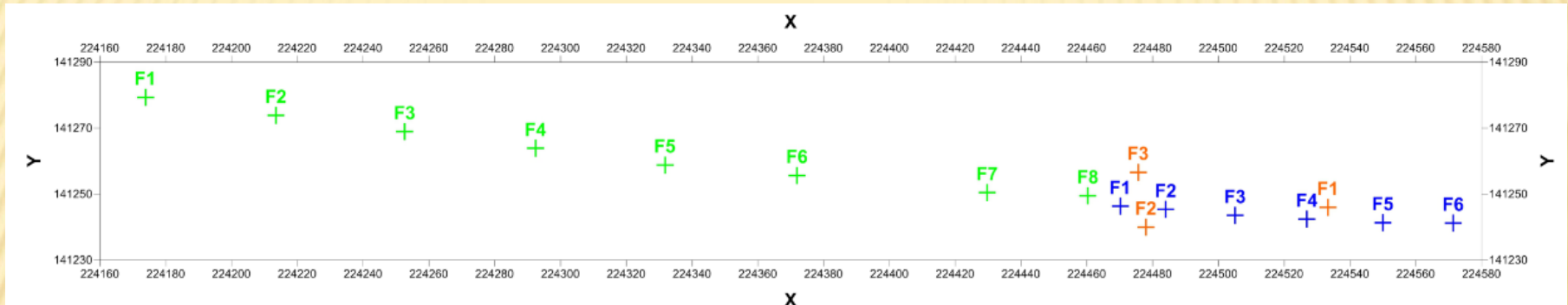
# Résultats: Forage 3



# Résultats: Forage 3

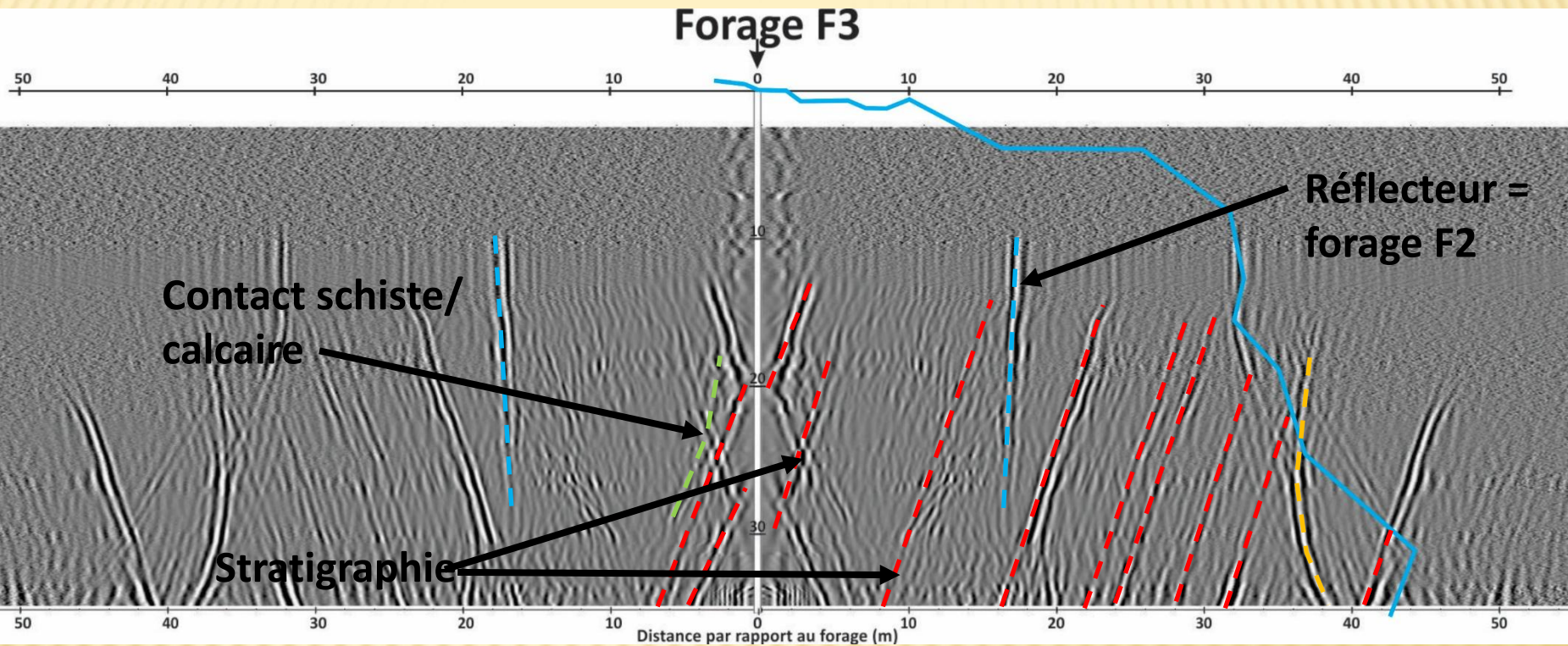


# Implantation des forages



Distance F3 (2017) - F2 (2017) = 16.81 m

## Résultats: Forage 3



**Distance F3 (2017) - F2 (2017) = 16.81 m**

## Forage F2

## Forage F3

30 20 10 0 10 20 30

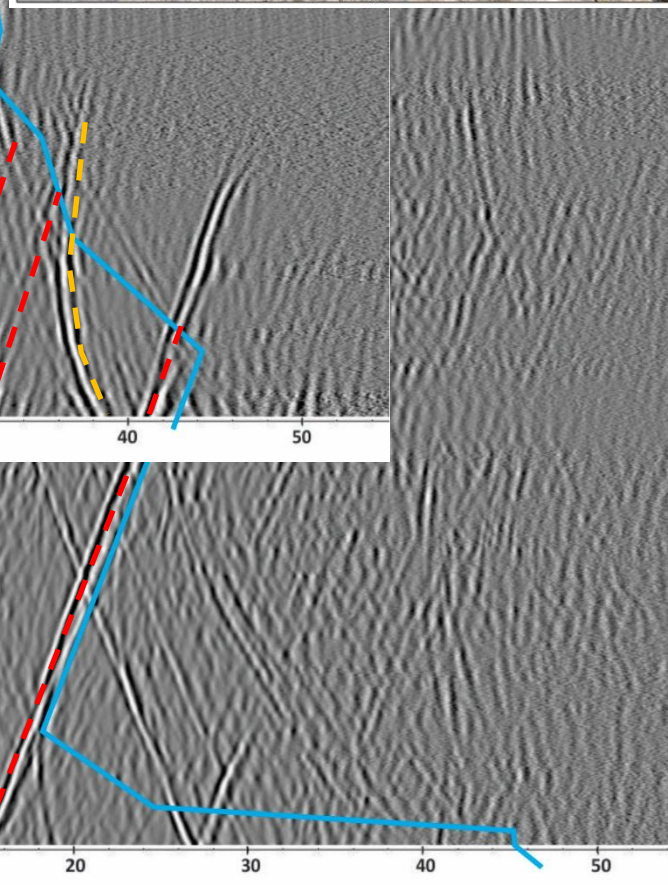
30 20 10 0 10 20 30 40 50

Distance par rapport au forage (m)

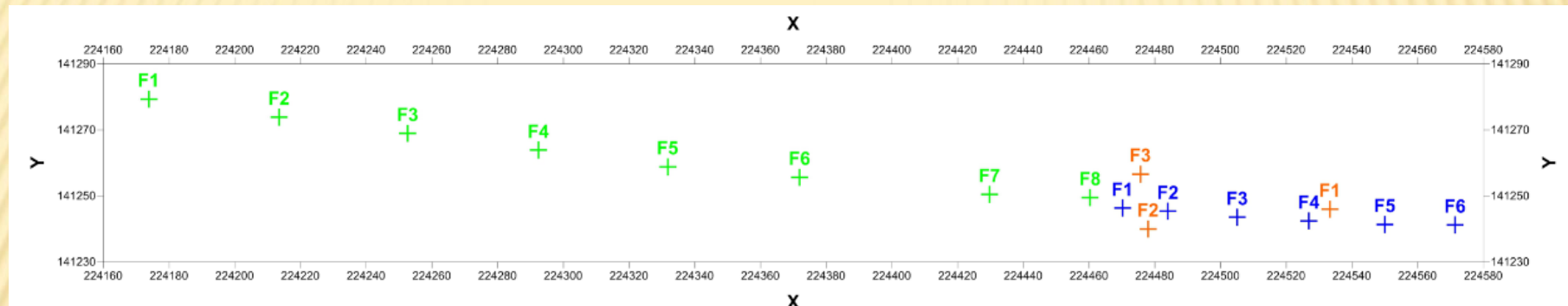
50 40 30 20 10 0 10 20 30 40 50

Distance par rapport au forage (m)

et de Mécanique des Roches



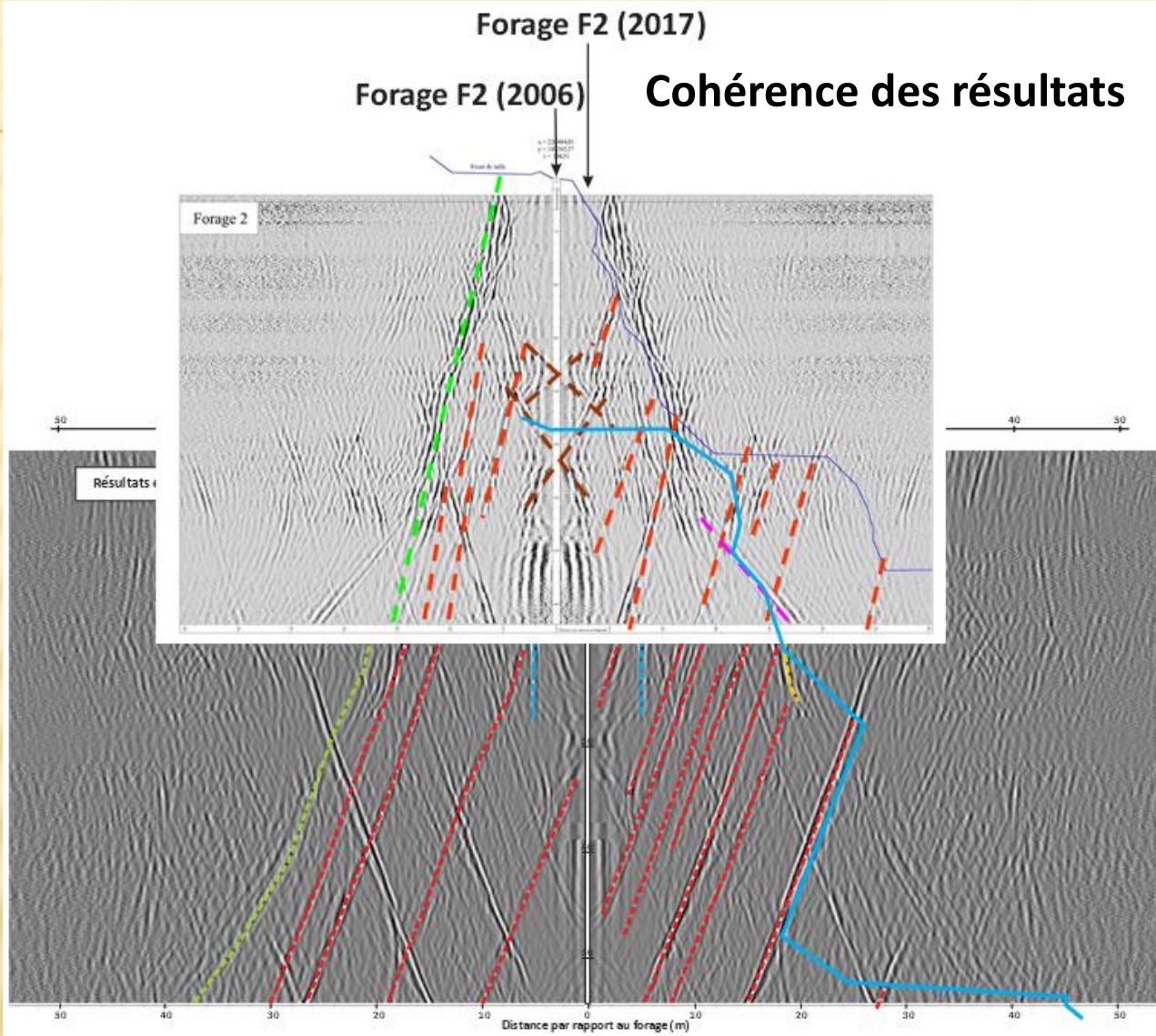
# Implantation des forages



## Forage F2 (2017)

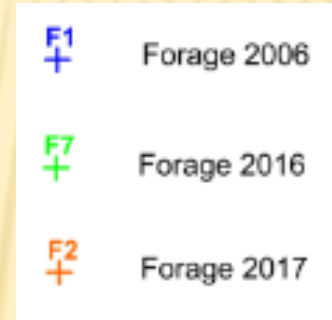
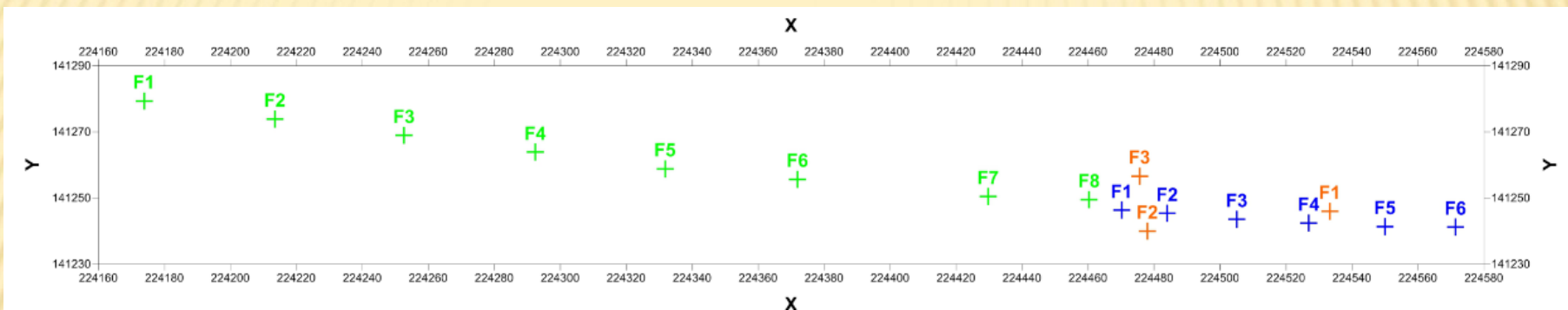
## Forage F2 (2006)

## Cohérence des résultats



Distance F2- F2(2006) = 8.05 m

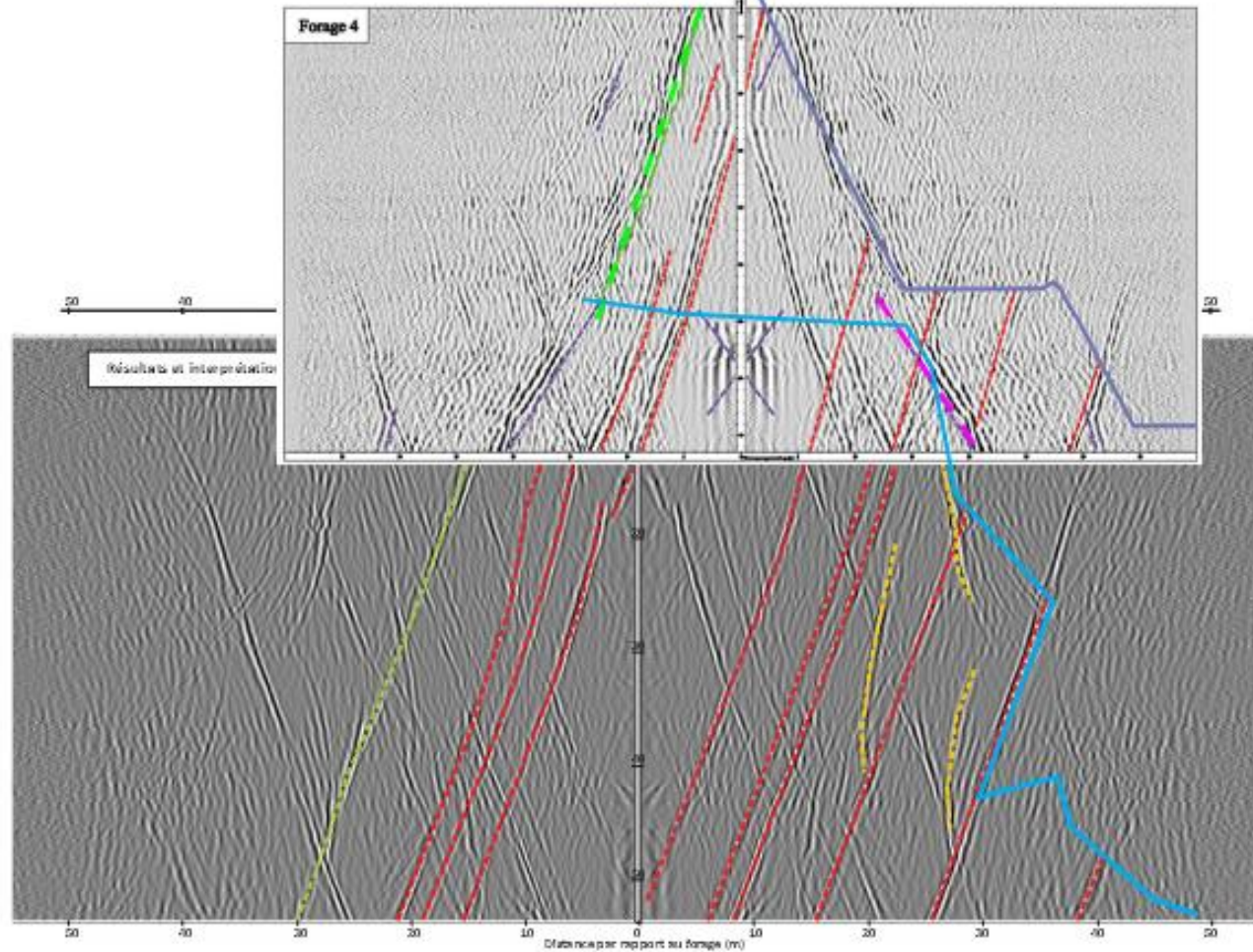
# Implantation des forages

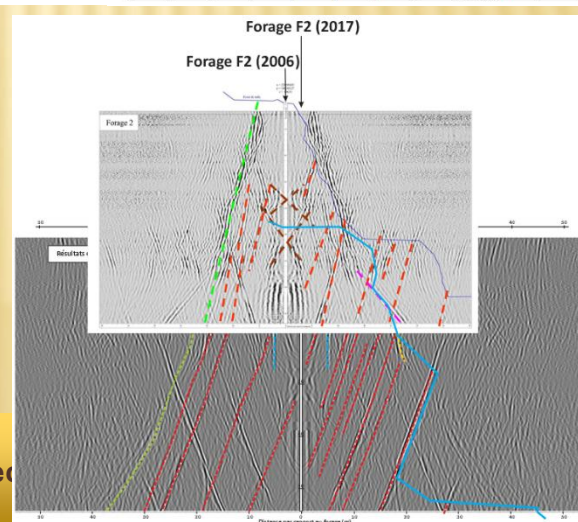
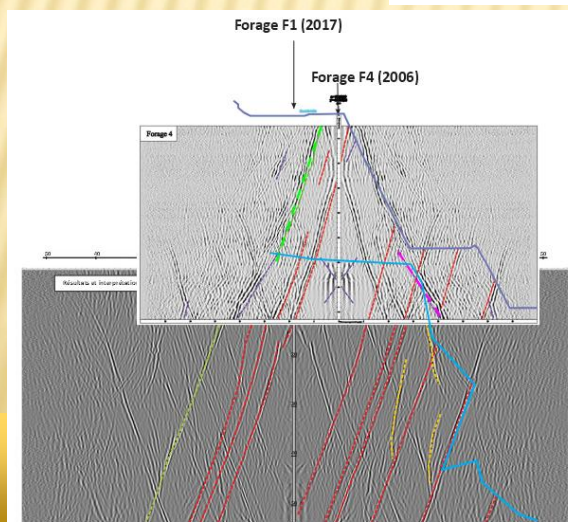
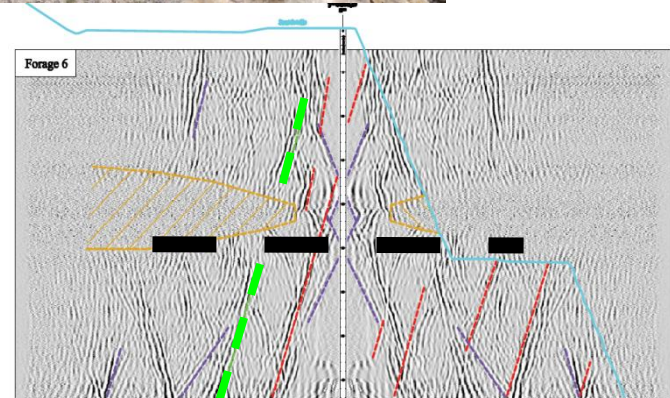
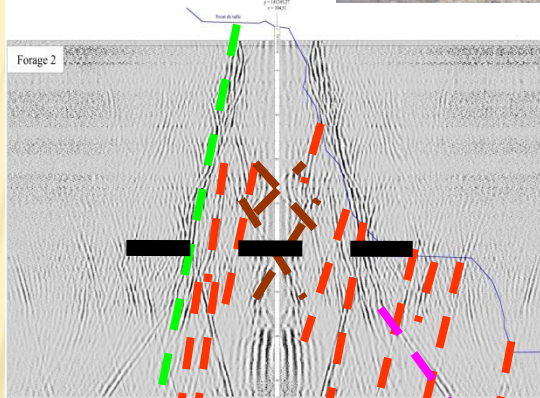
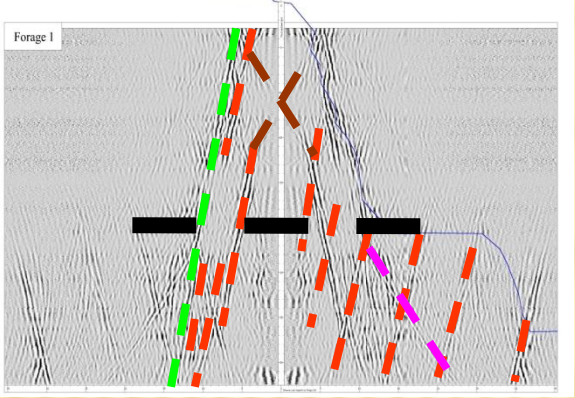


Forage F1 (2017)

## Cohérence des résultats

Forage F4 (2006)





11/03/2025

naissance géotech

## 4) Conclusions

- ✖ **GPR en forages : très haute résolution de l'image du sous-sol**
- ✖ **Dans la roche la pénétration peut atteindre 30-40m**
- ✖ **Très forte atténuation dans les terrains conducteurs**
- ✖ **La qualité des résultats doit toujours être prise en compte à tous les stades de l'investigation (choix de la méthode, acquisition et traitement des données et interprétation)**

# MERCI POUR VOTRE ATTENTION

